

XXX. KONGRES NEMOCNIČNÉHO LEKÁRENSTVA

SEKCIA
NEMOCNIČNÝCH
LEKÁRNIKOV

Farmaceutická starostlivosť pre špecifické skupiny pacientov

13. - 14.10.2022, Falkensteiner Hotel Bratislava****

Slovenskej lekárskej komory

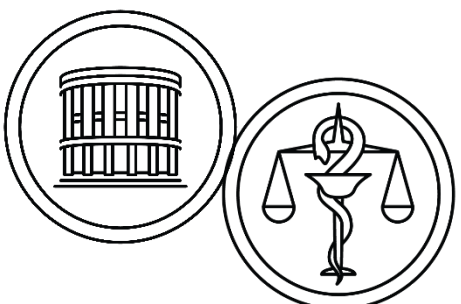


EUROPEAN UNION
European Regional Development Fund
OP Integrated Infrastructure 2014 – 2020



Prognostické markery závažnej formy ochorenia COVID-19

Markusková L., Javorová Rihová Z., Martinkovičová A., Rábarová D., Sol'avová M.,
Dingová D., Paul Hrabovská A.

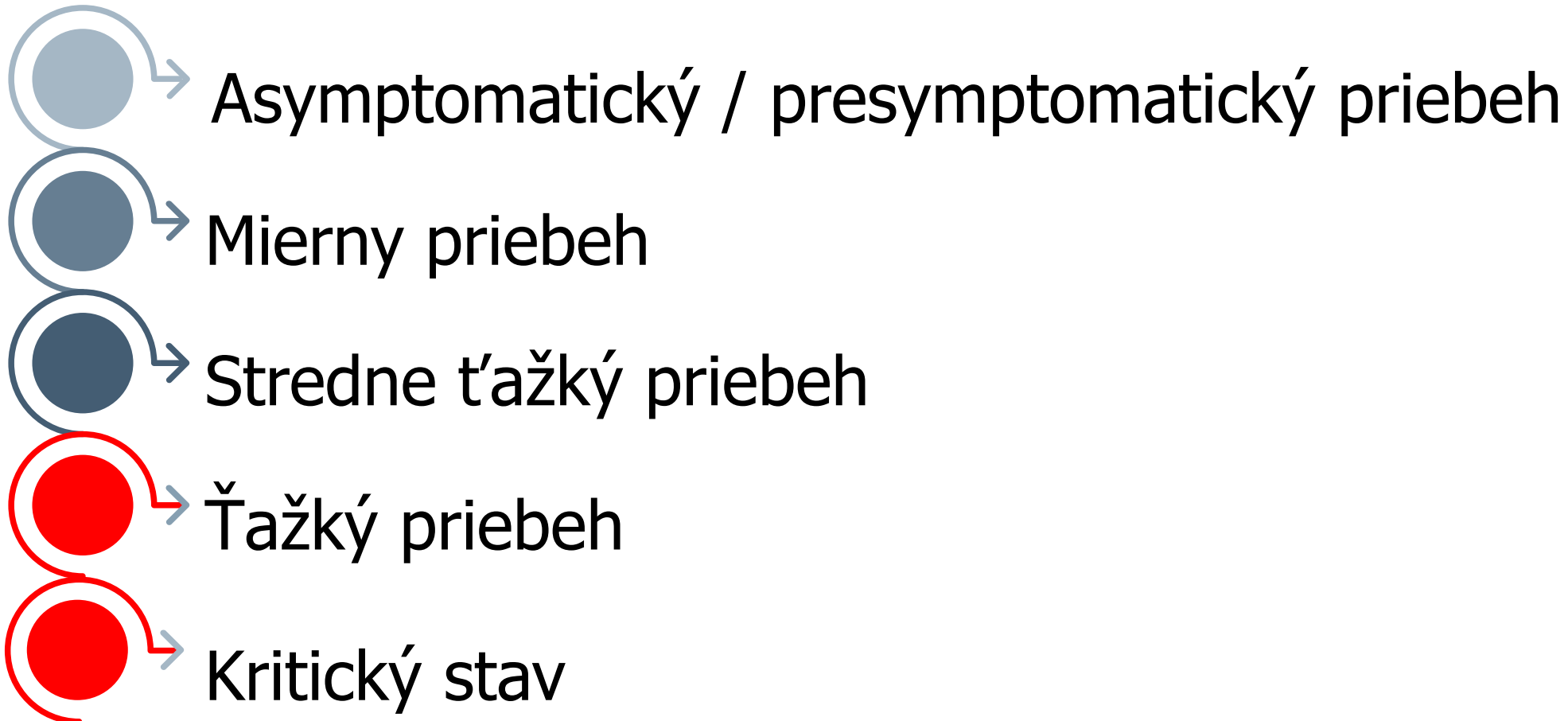


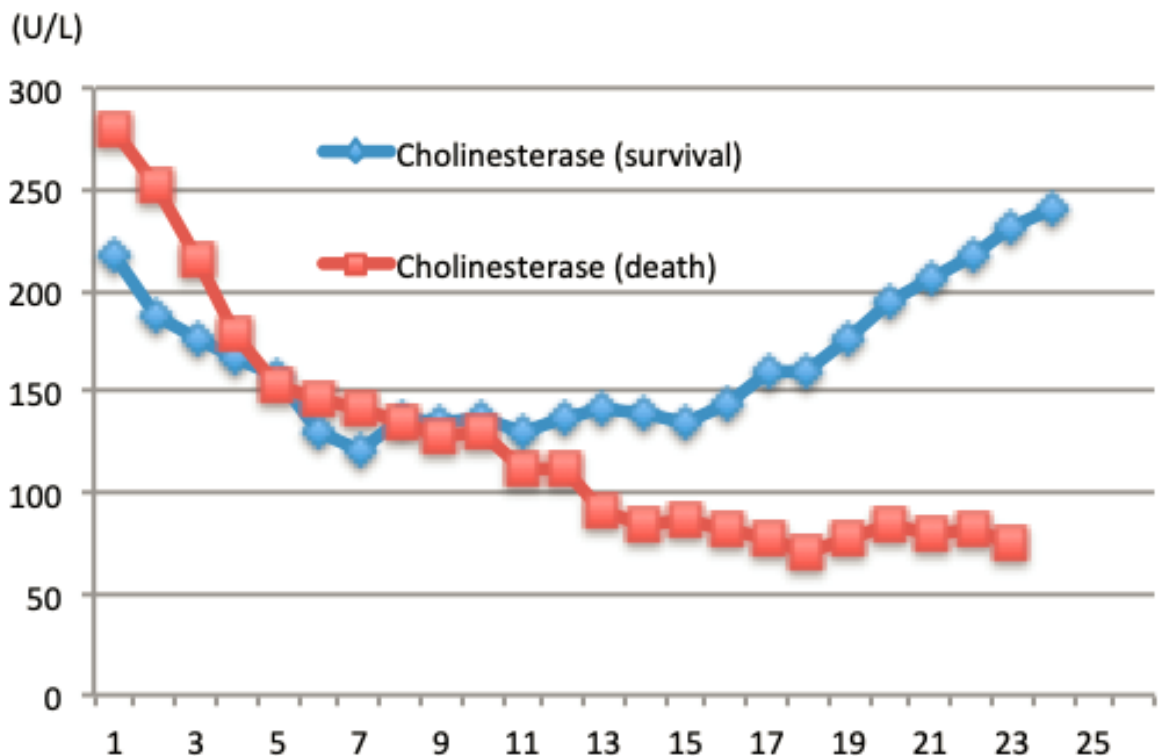
FARMACEUTICKÁ FAKULTA
Univerzita Komenského
v Bratislave

FAKULTNÁ NEMOCNICA
TRNAVA

SLOVENSKÁ
ZDRAVOTNÍCKA
UNIVERZITA

COVID-19 podľa závažnosti klinických prejavov





Mild-to-moderate cases* ($n = 11$)
Median (interquartile range)/frequency (%)

Severe cases** ($n = 15$)
Median (interquartile range)/frequency (%)

p-value

ChE (U/L)

326

(228–394)

218

(185–279)

0.006

Nakajima K (2021)

THE HANS INDIA

P V Prasad

Hans News Service | 8 May 2021 11:35 PM IST



+ 63

HIGHLIGHTS

Though it sounds odd, Vysyas, the predominant trading community, are suspected to be highly vulnerable to the coronavirus pandemic.



A view of grocery store at SH Pet area in Nellore

Nellore: Though it sounds odd, Vysyas, the predominant trading community, are suspected to be highly vulnerable to the Covid-19 pandemic.

Medical experts say that the mortality rate among them is very high and the pandemic has turned out to be terrible for a majority section of the community possibly due to their pre-existing genetic disorders. "Researchers must investigate such cases for discovering the basic reason behind the problem," say the members of the community.

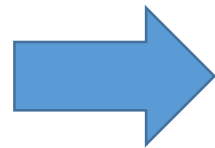
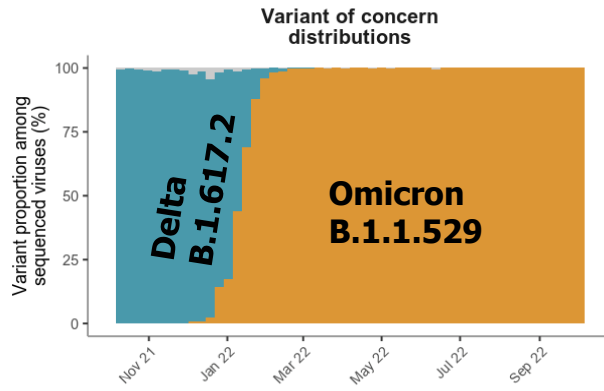


Môže byť BChE prognostickým markerom COVID-19?

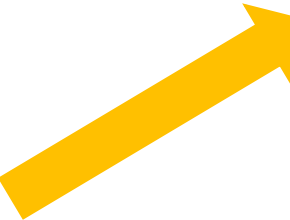
FNTT
KAIM a KI



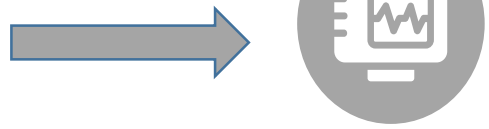
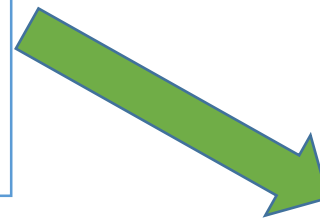
15/10/2021 – 31/5/2022



N = 148
(dg. U07.1)
♂ 83 ♀ 65
65r (26 - 96)



- Biochemické a imunologické markery
- Komorbidity
- Klinický stav
- Farmakoterapia



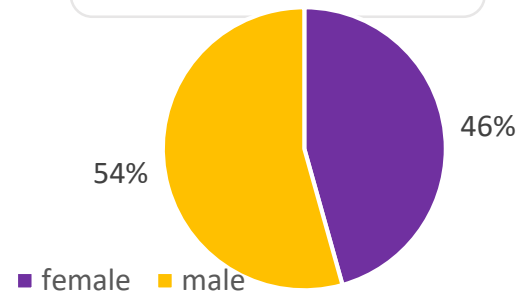
Aktivita BChE

Projekt schválený EK FaFUK a FNTT

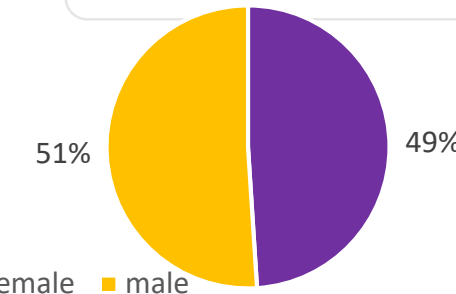


n = 148

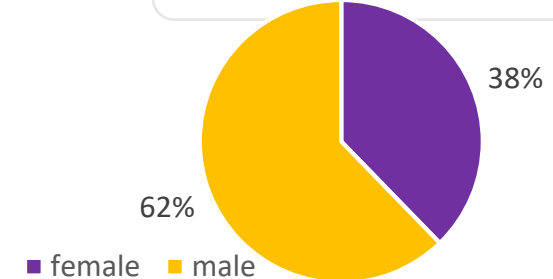
Prepuštení
n = 46 (31 %)



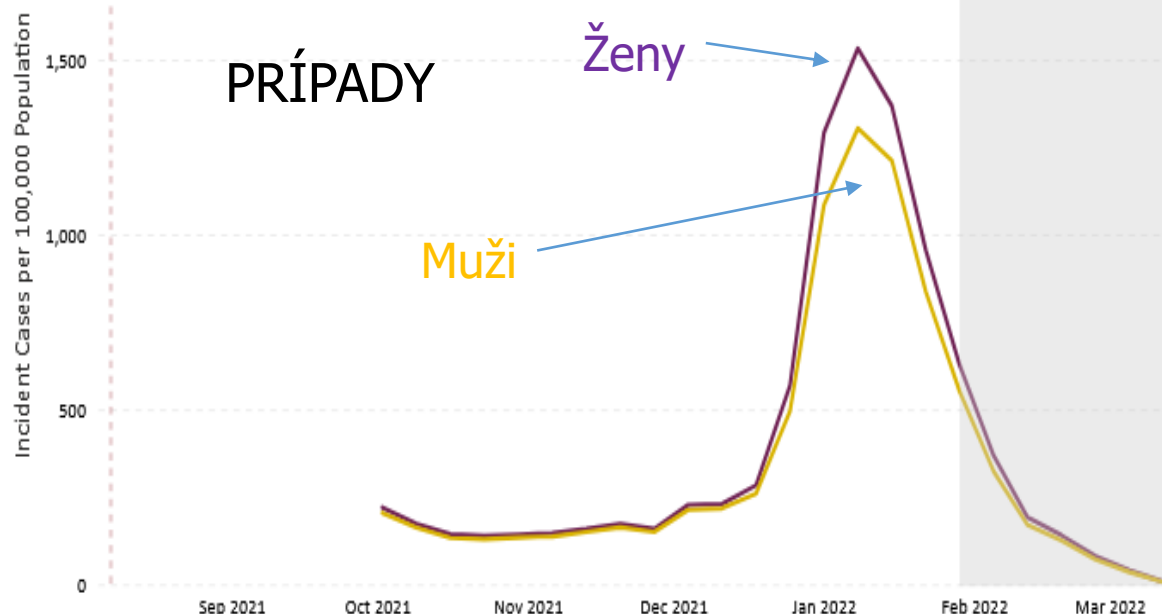
Preložení
n = 49 (33 %)



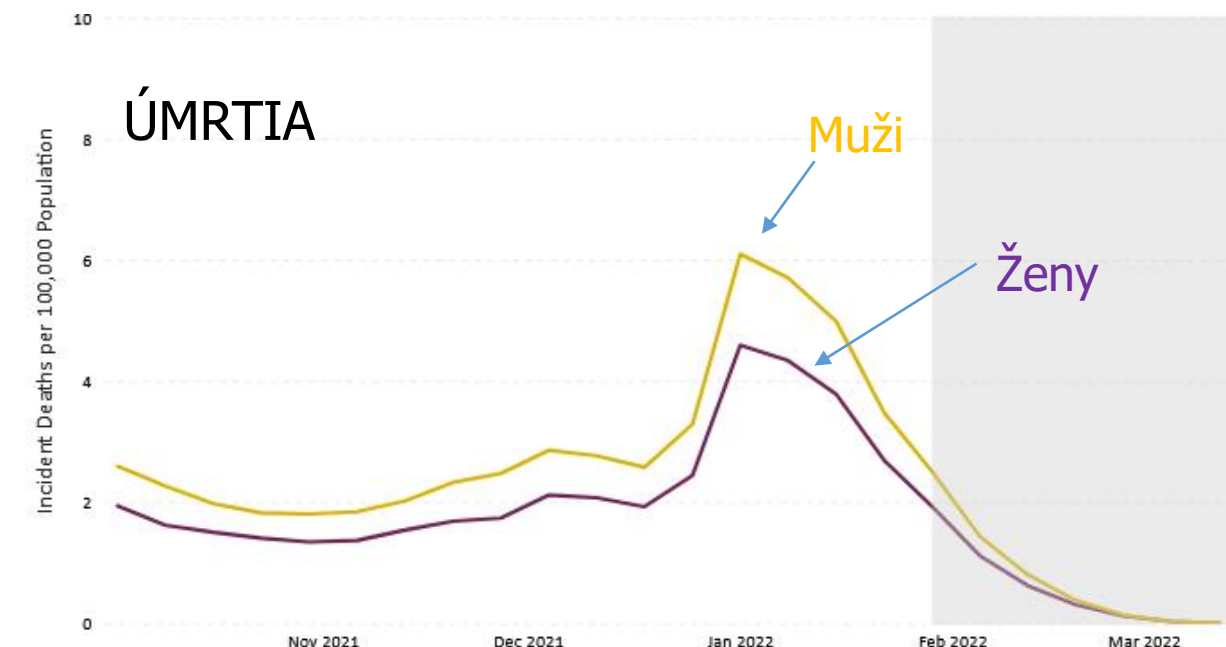
Nepreživší
n = 53 (36 %)



PRÍPADY



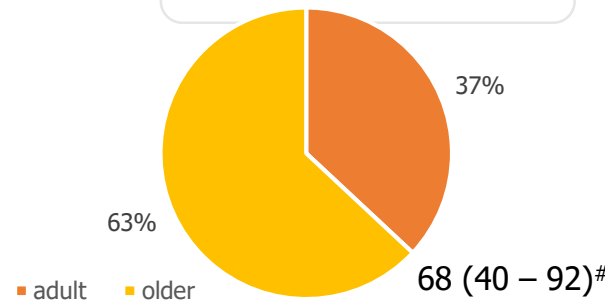
ÚMRTIA



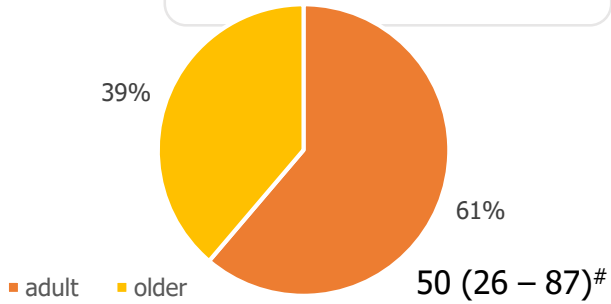


n = 148

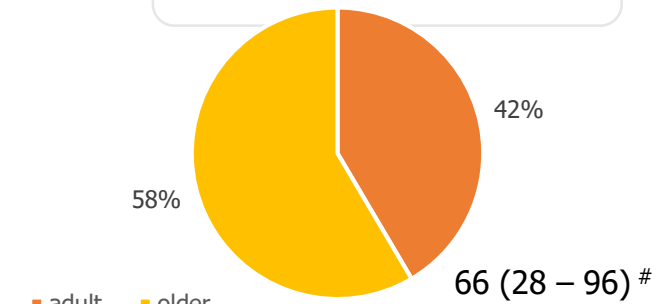
Prepuštení
n = 46 (31 %)



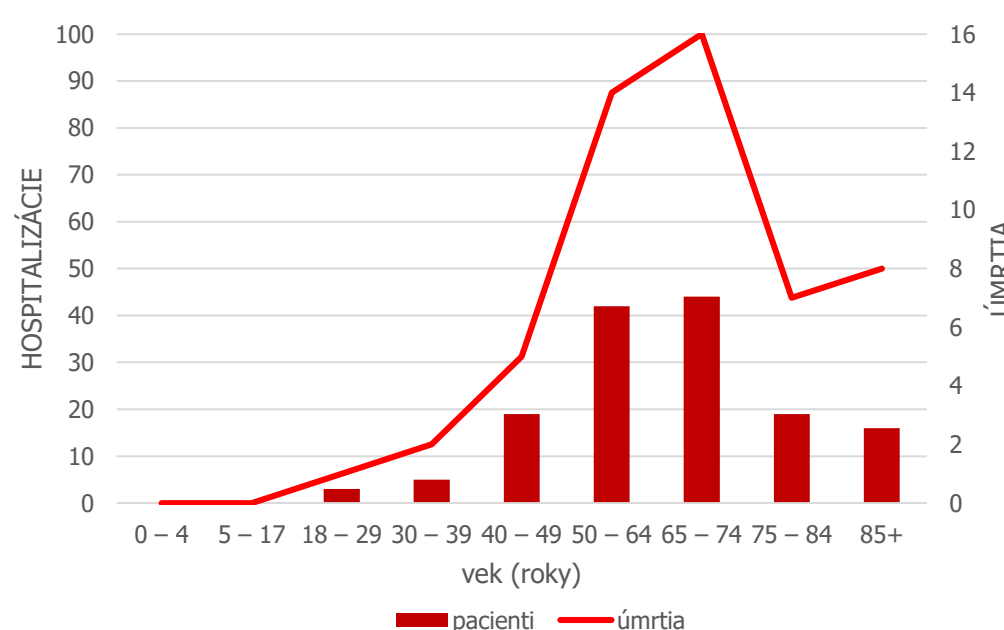
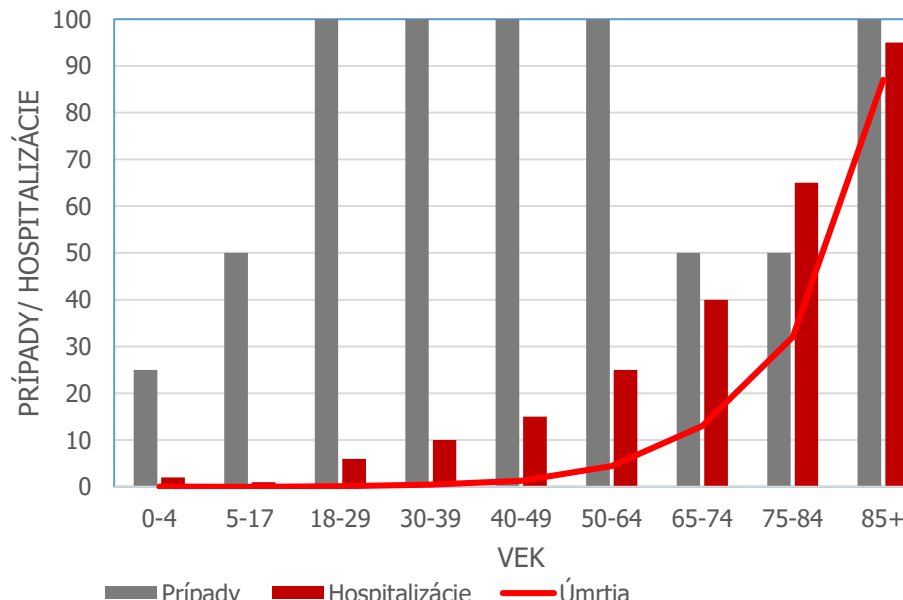
Preložení
n = 49 (33 %)



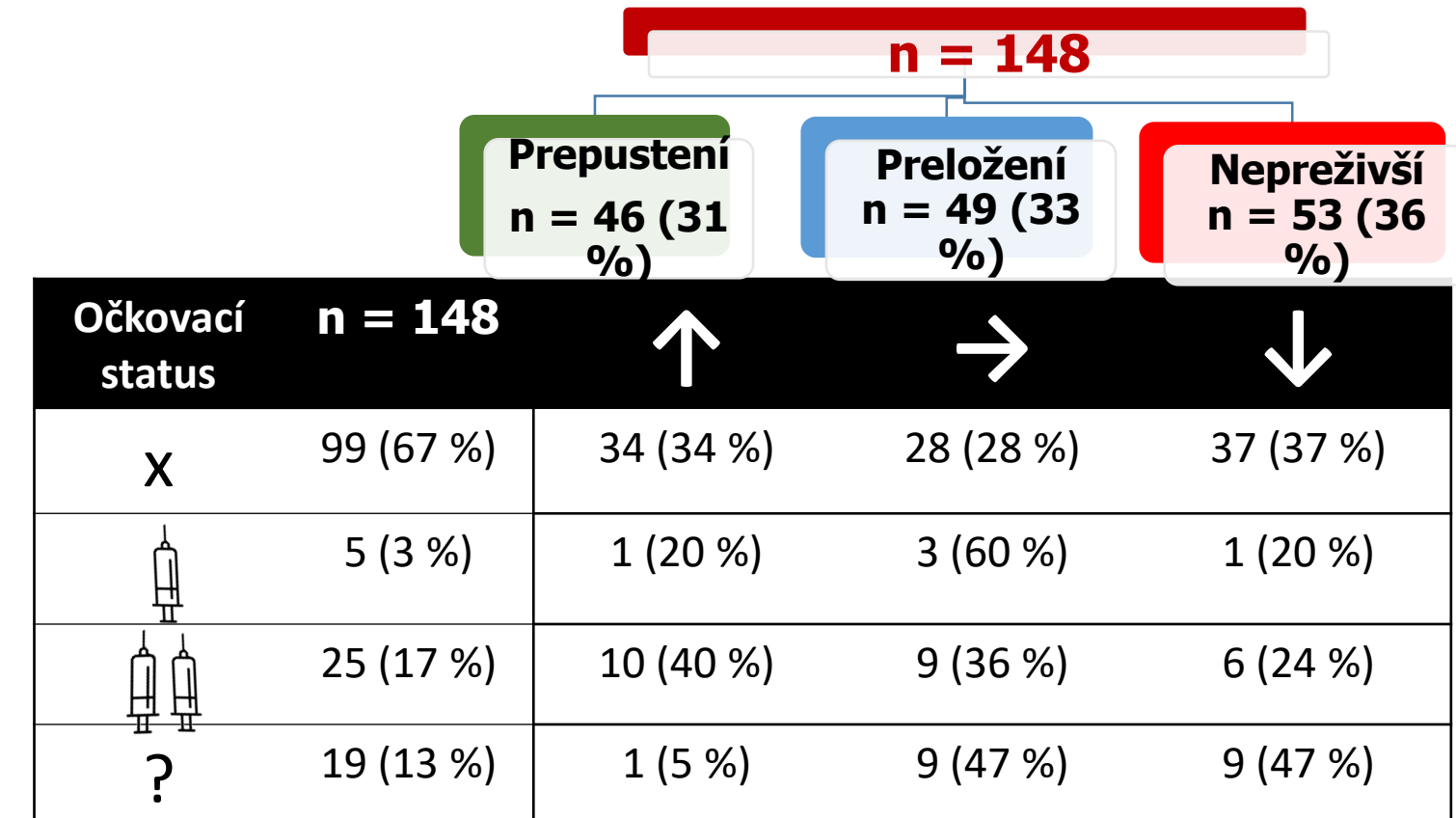
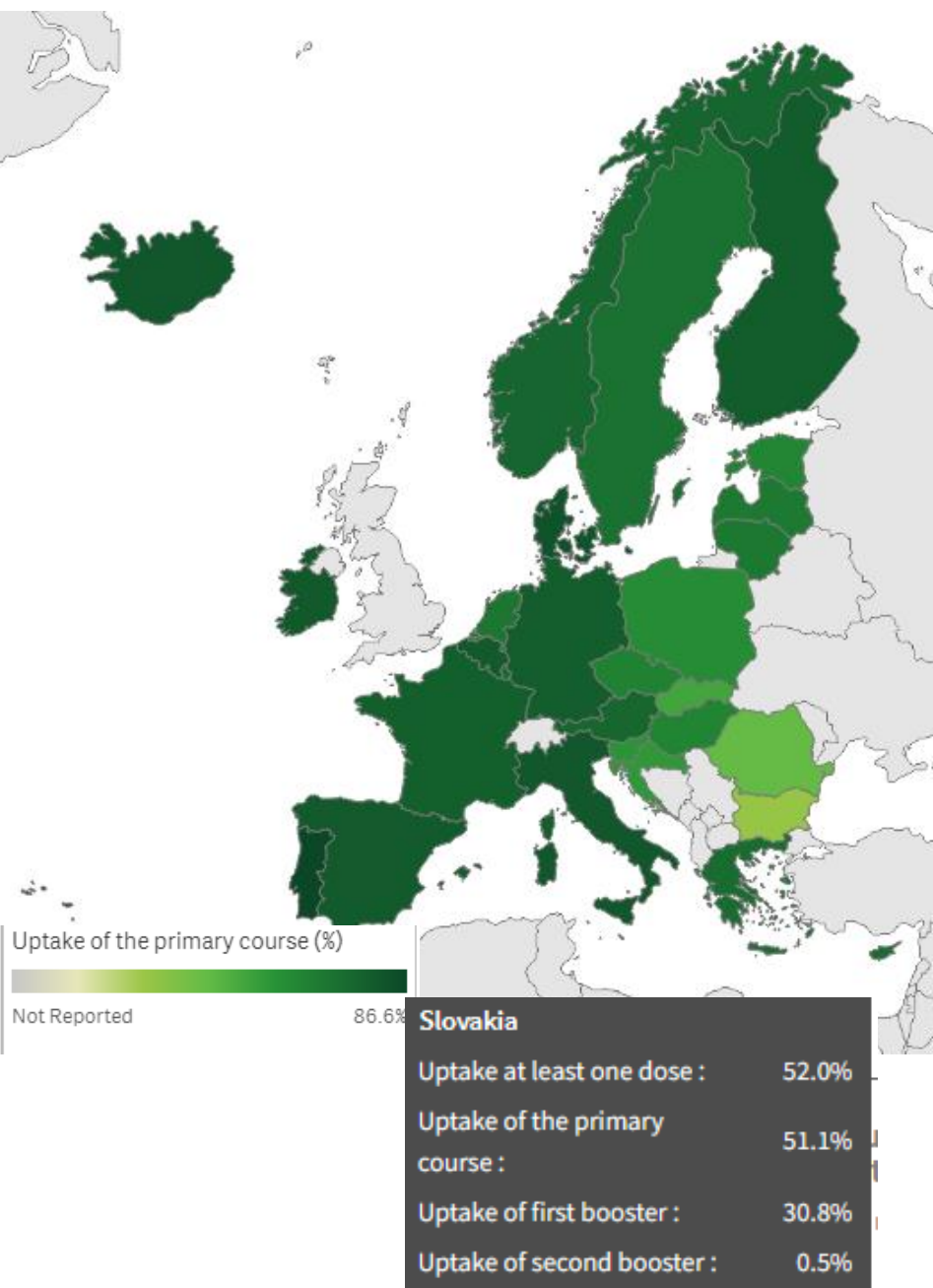
Nepreživší
n = 53 (36 %)

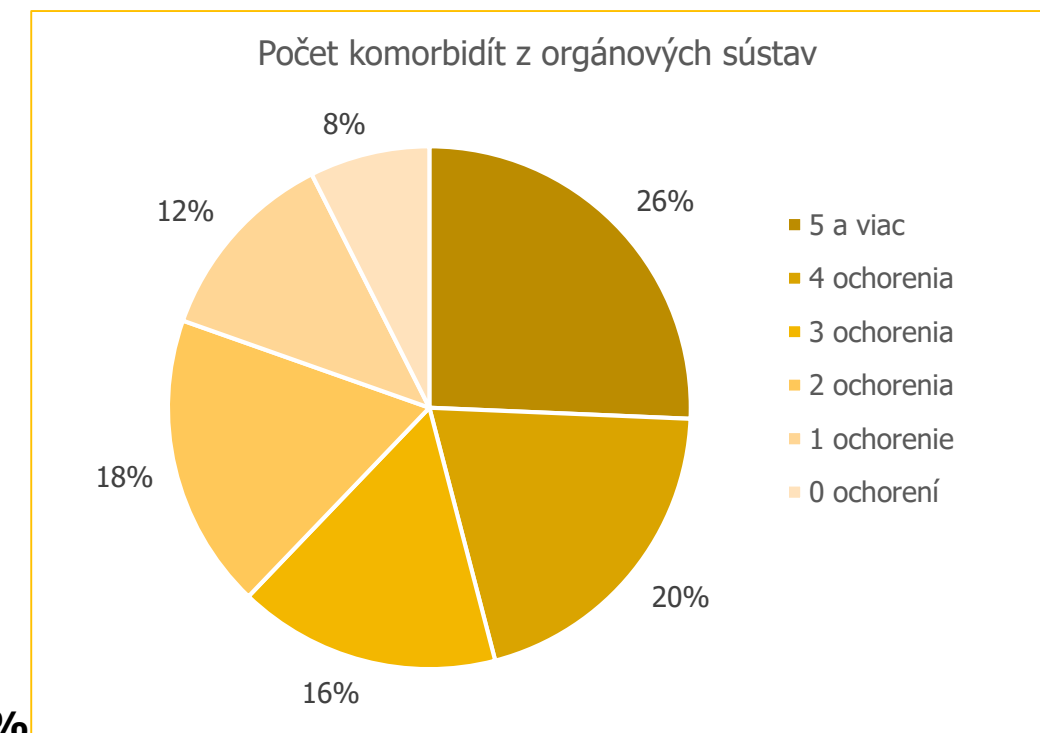
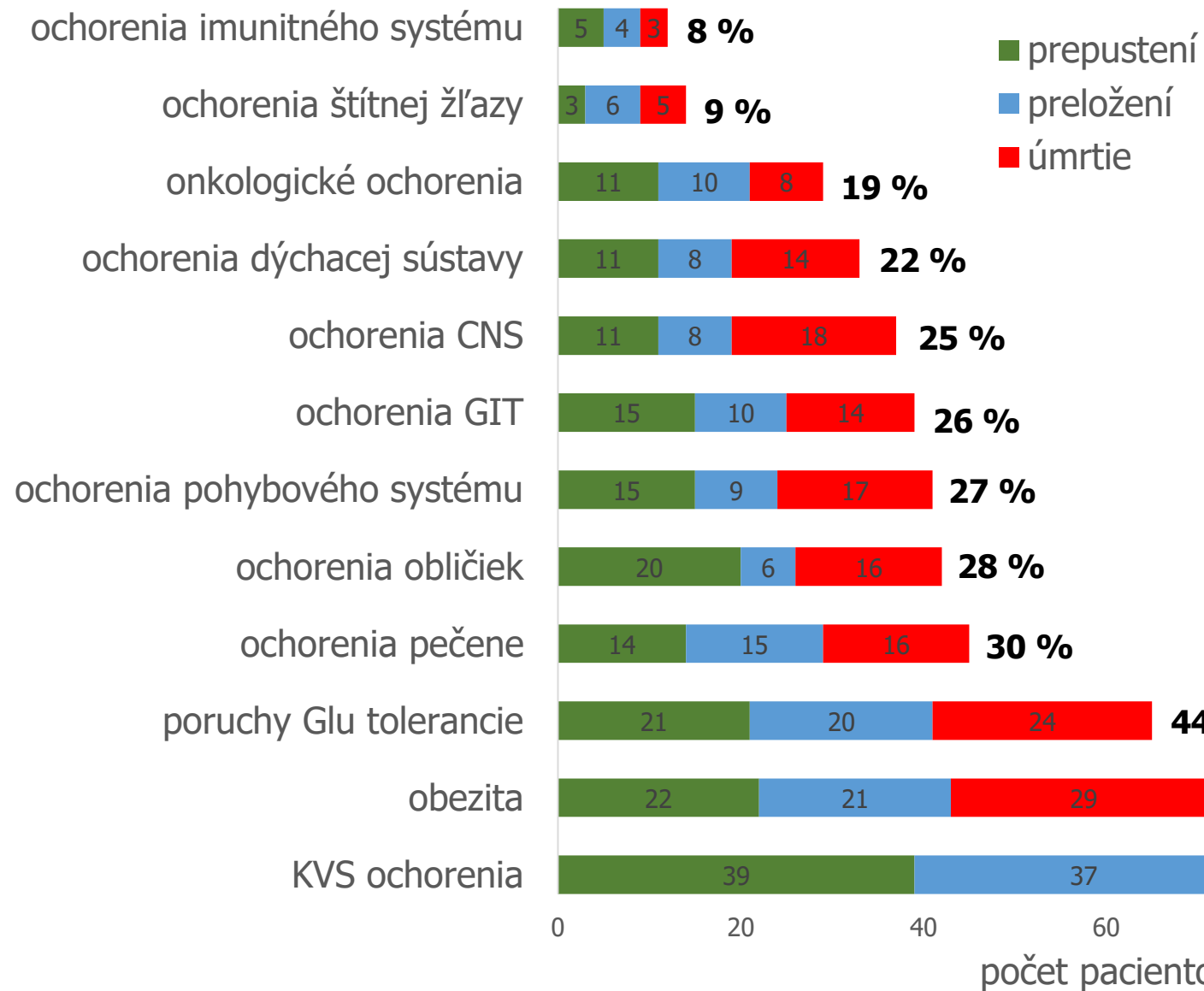


#median (min – max)

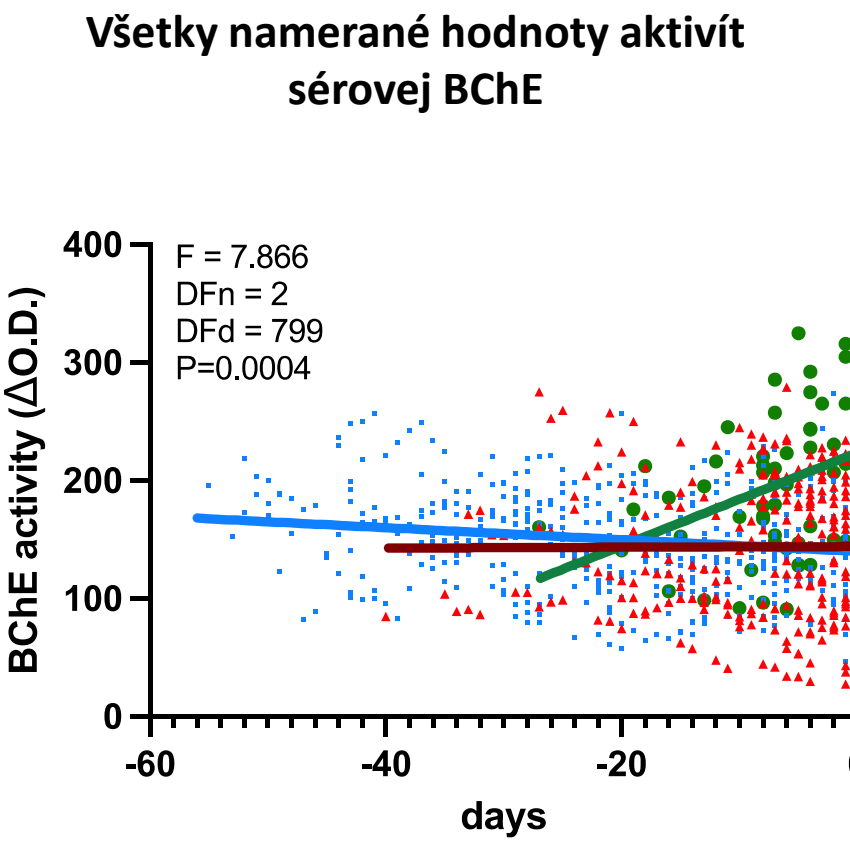


Na základe dát CDC

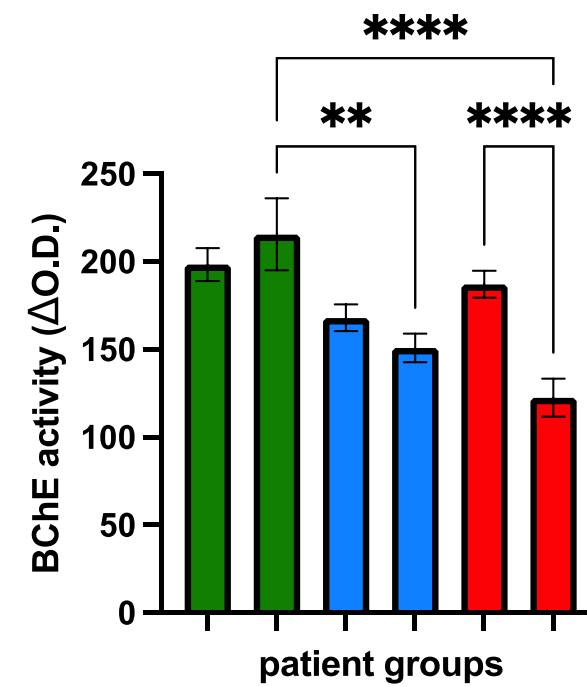




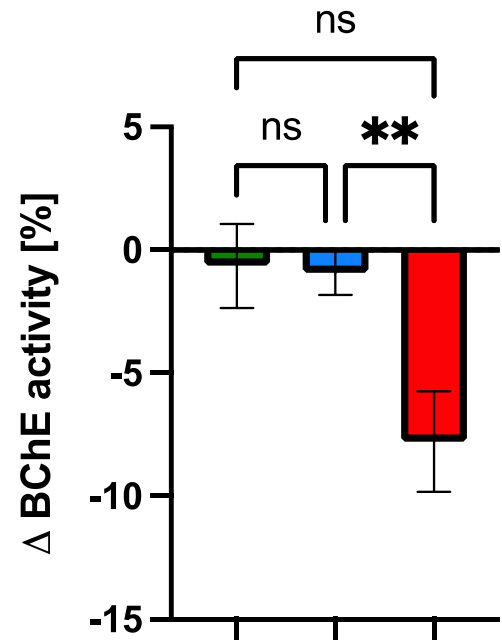
Môže byť BChE prognostickým markerom COVID-19?



Zmeny v aktivite sérovej BChE na začiatku a na konci hospitalizácie

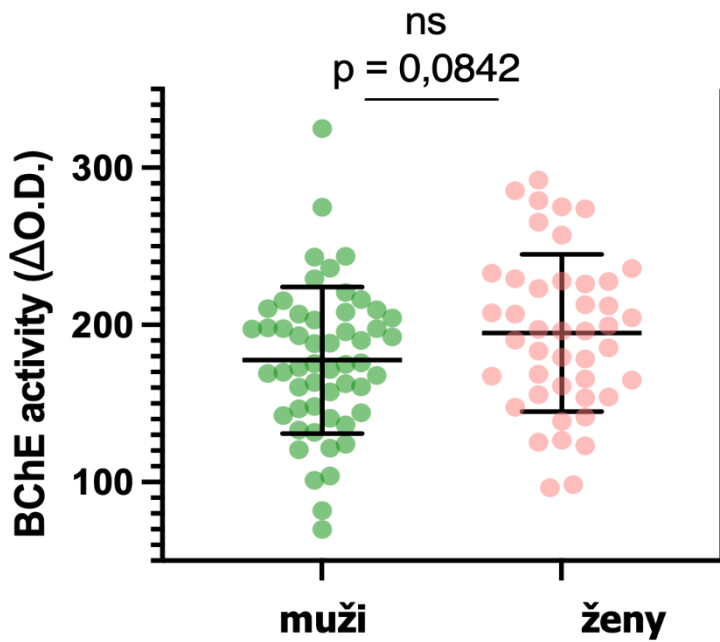


% zmeny aktivity sérovej BChE

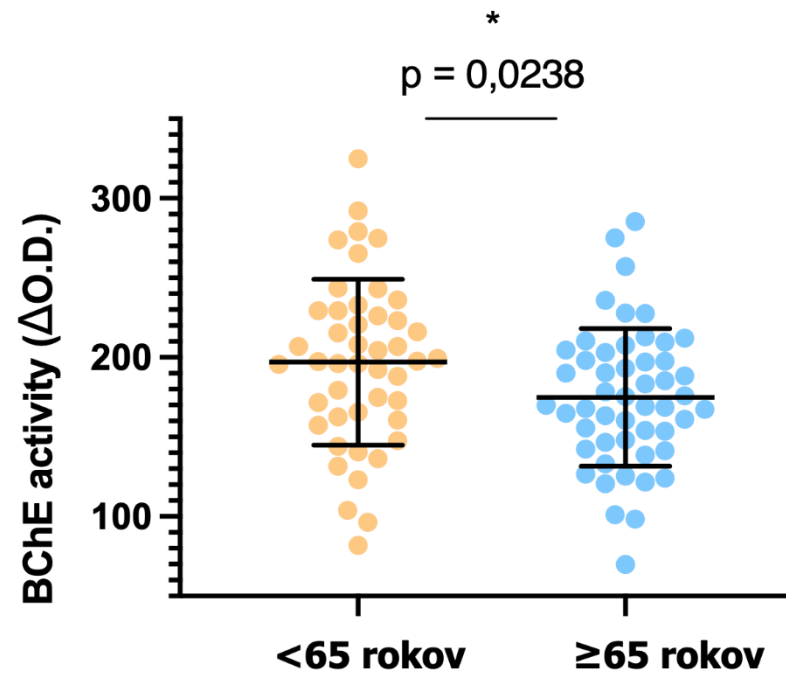


Môže byť BChE prognostickým markerom COVID-19?

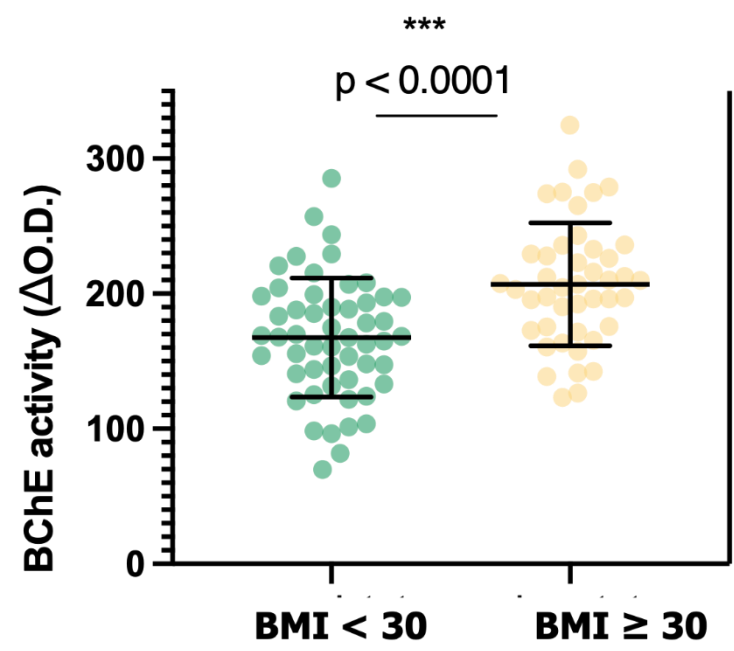
POHĽAVIE



VEK

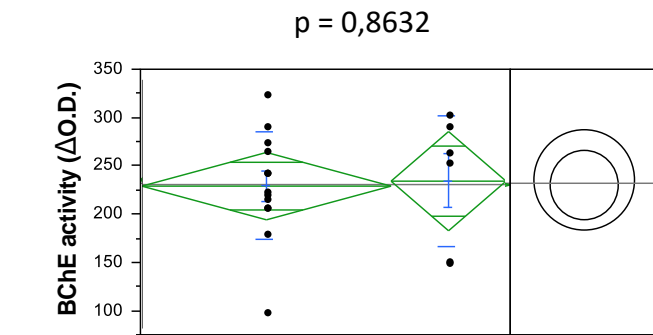


BMI

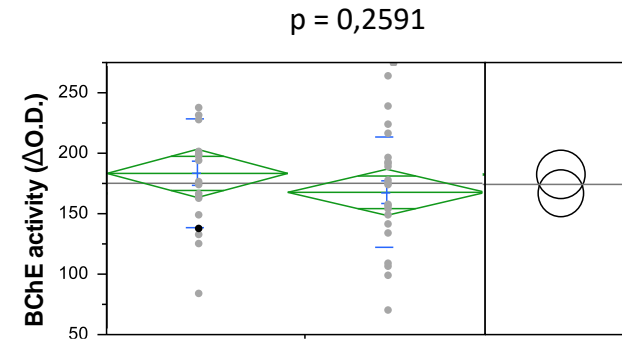


Môže byť BChE prognostickým markerom COVID-19?

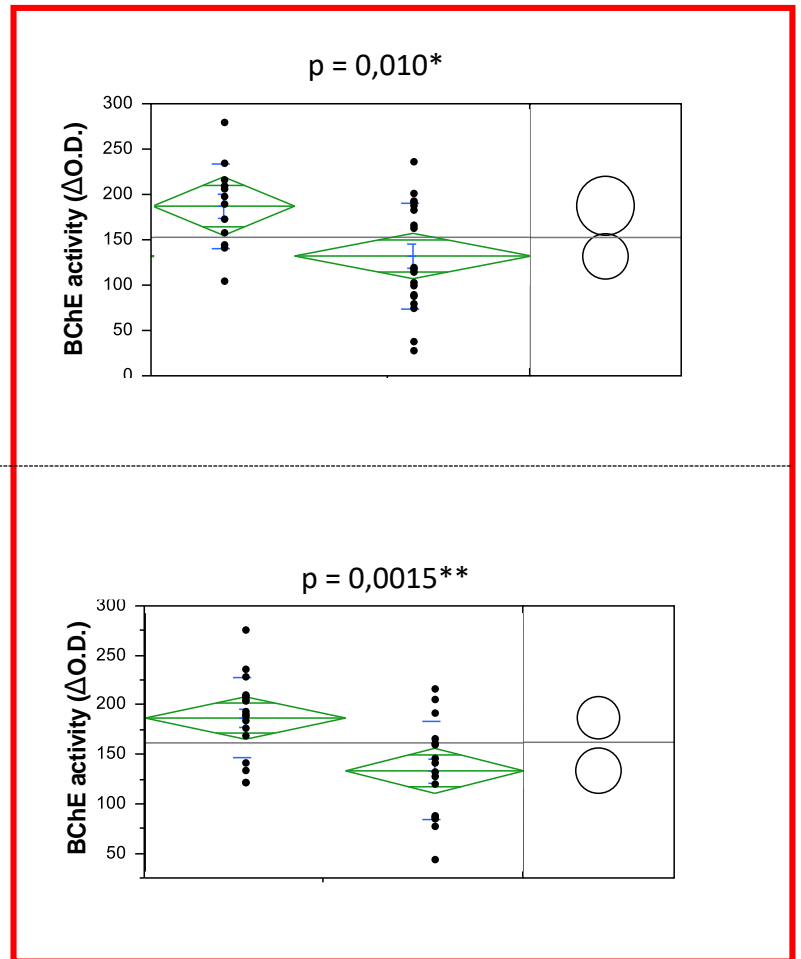
PREPUSTENÍ



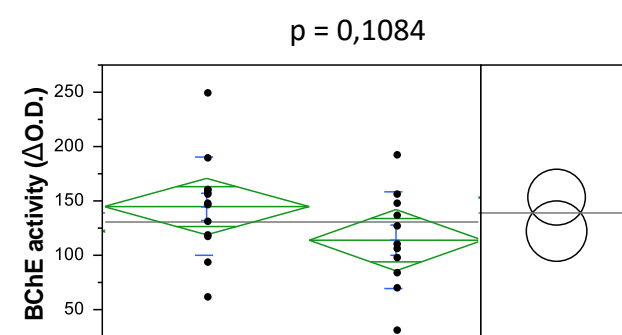
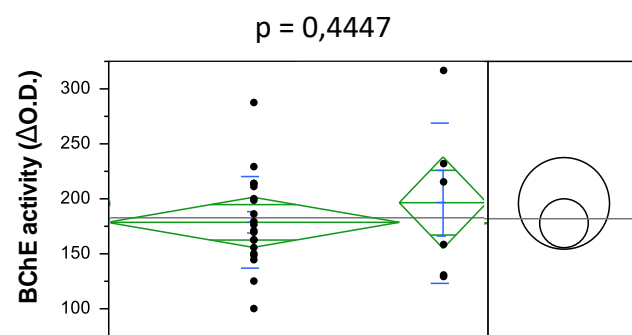
PRELOŽENÍ



NEPREŽIVŠÍ

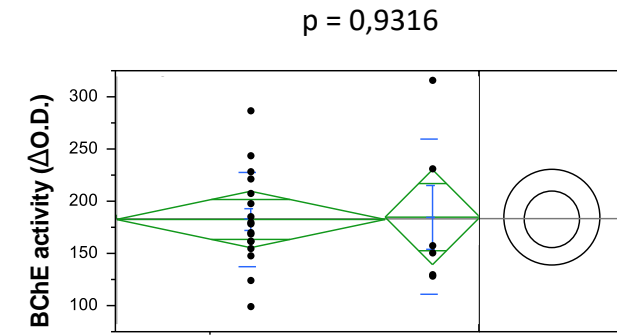


$< 65 \text{ Y}$

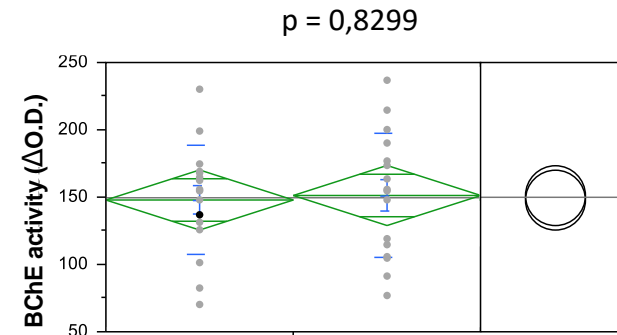


Môže byť BChE prognostickým markerom COVID-19?

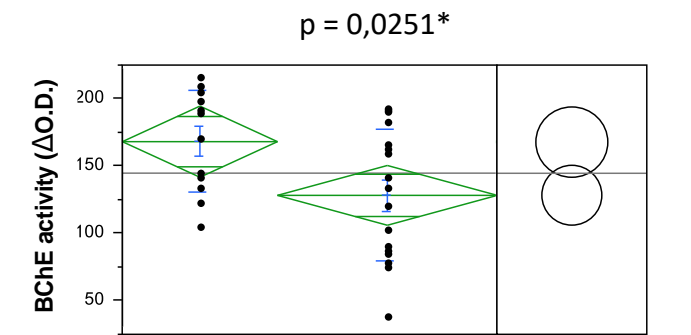
PREPUSTENÍ



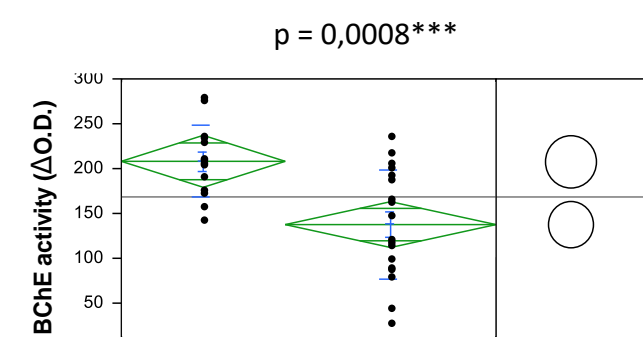
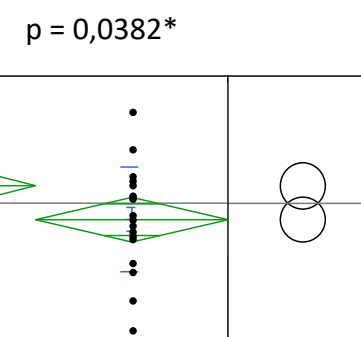
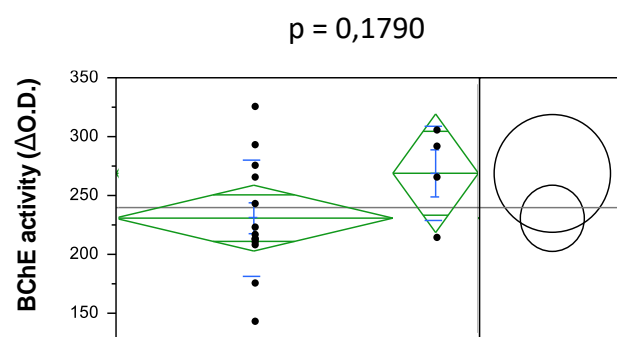
PRELOŽENÍ



NEPREŽIVŠÍ

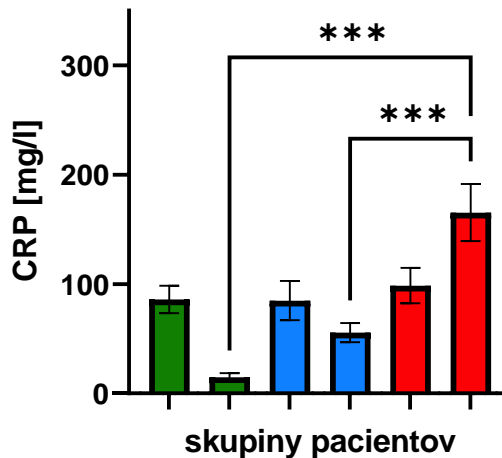


BMI < 30

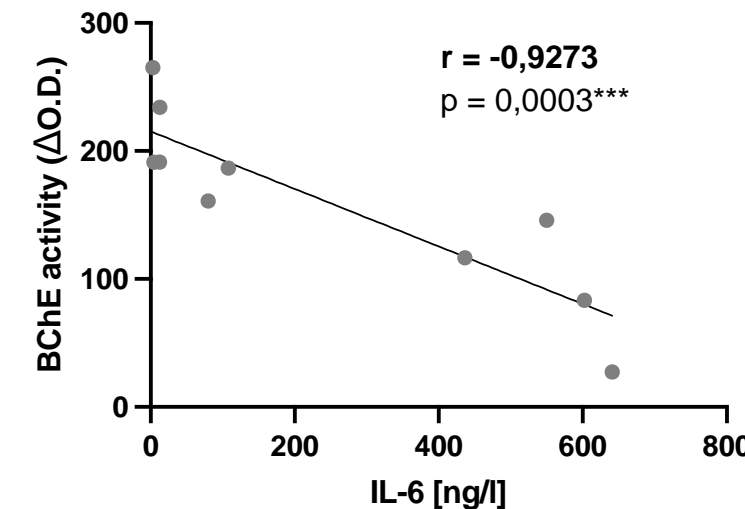
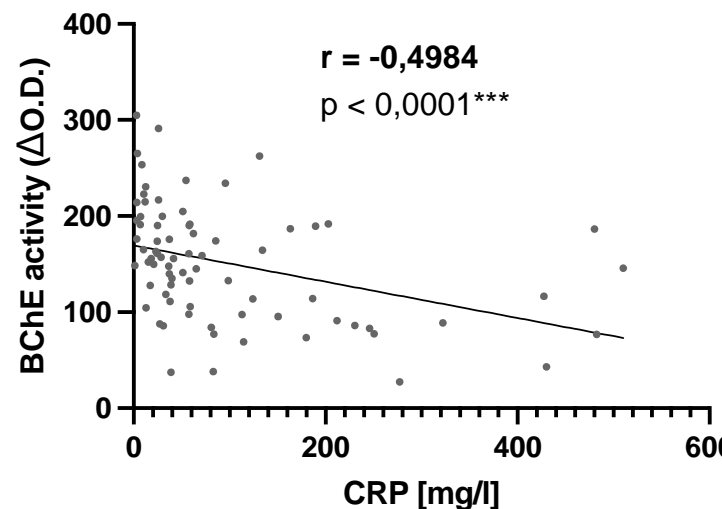
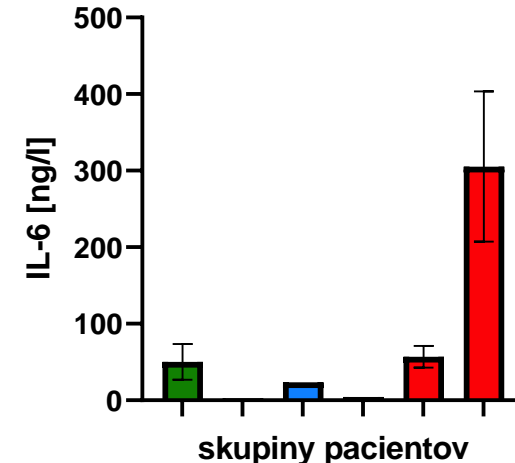


Môže byť BChE prognostickým markerom COVID-19?

C-reaktívny proteín



IL-6



Môže byť BChE prognostickým markerom COVID-19?

Sérová aktivita BChE sa progresívne znižovala v skupine nepreživších pacientov hospitalizovaných s t'ažkým priebehom COVID-19

- nezávisle od pohlavia
- nezávisle od veku
- nezávisle od BMI
- nezávisle od komorbidít (kvantitatívne ani kvalitatívne)
- korelujúc so zápalovými markermi

Čo d'alej?

- Pokračovanie v analýze zdravotnej dokumentácie
- Model predikcie úmrtia u pacientov s COVID-19
- Analýza > 500 pacientov s alfa a delta variantom COVID-19
- Analýza sér pacientov s Wuhan typom COVID-19 s rôzne závažným priebehom

XXX. KONGRES NEMOCNIČNÉHO LEKÁRENSTVA



SEKCIA
NEMOCNIČNÝCH
LEKÁRNIKOV

Farmaceutická starostlivosť pre špecifické skupiny pacientov

13. - 14.10.2022, Falkensteiner Hotel Bratislava****

Slovenskej lekárskej komory



EUROPEAN UNION

European Regional Development Fund
OP Integrated Infrastructure 2014 – 2020

MINISTRY
OF EDUCATION, SCIENCE,
RESEARCH AND SPORT
OF THE SLOVAK REPUBLIC



Markusková L., Javorová Rihová Z., Martinkovičová A., Rábarová D., Soľavová M.,

Dingová D., Paul Hrabovská A.

T. Fazekáš



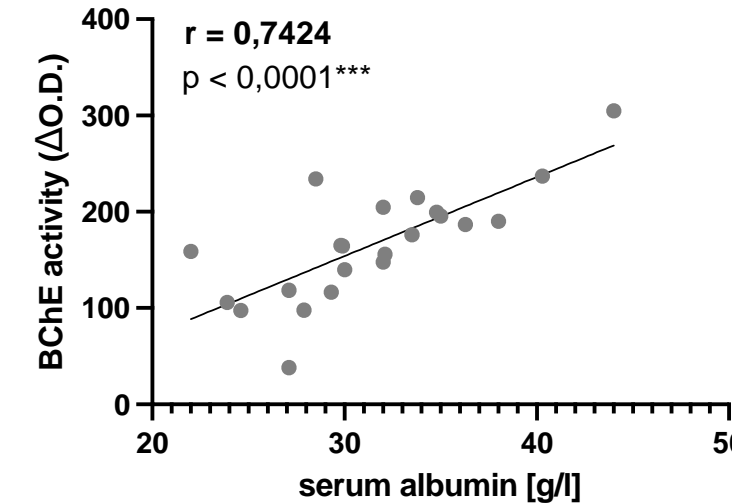
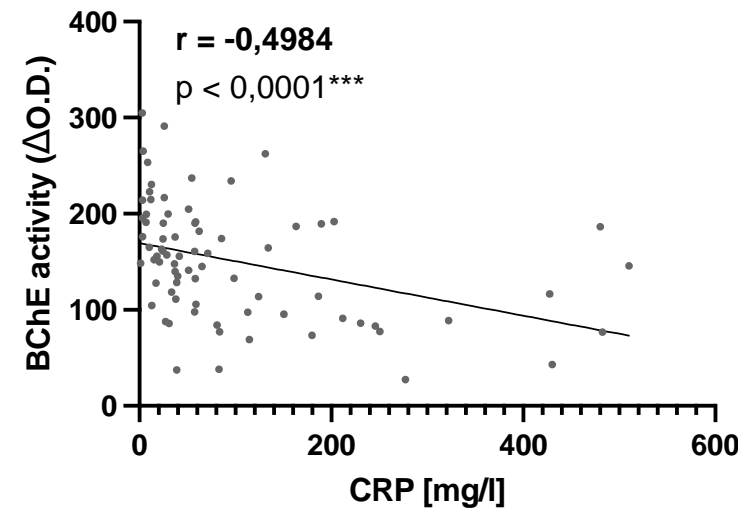
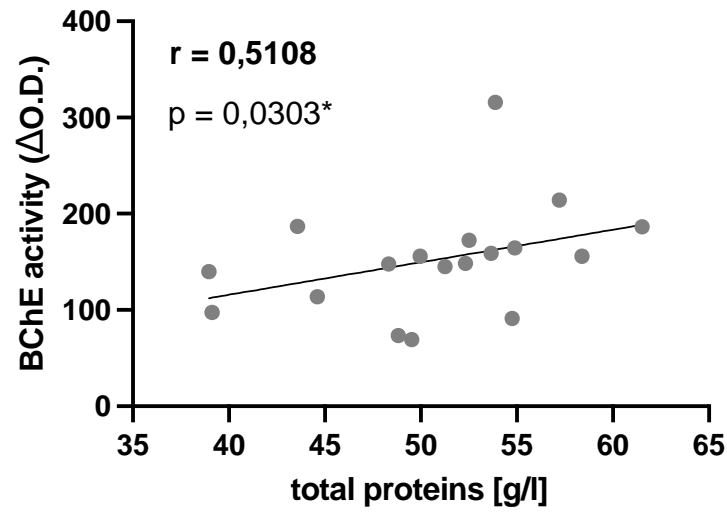
anna.paul.hrabovska@uniba.sk
hrabovska@fpharm.uniba.sk
anna.hrabovska@szu.sk



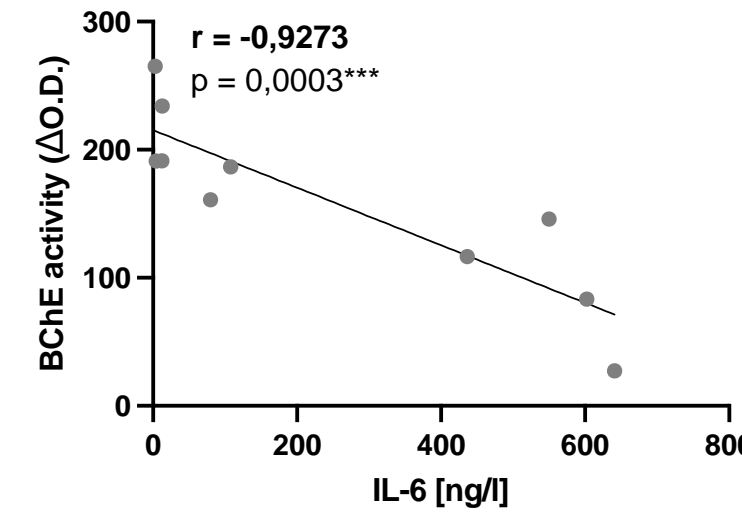
FARMACEUTICKÁ FAKULTA
Univerzity Komenského
v Bratislavе

SLOVENSKÁ
ZDRAVOTNÍCKA
UNIVERZITA
SZU

FAKULTNÁ NEMOCNICA
TRNAVA



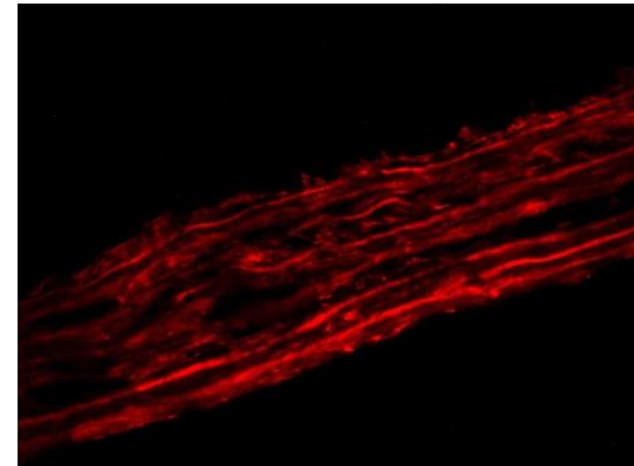
Pozitívna korelácia



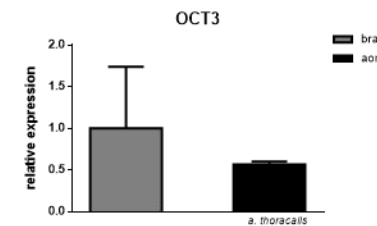
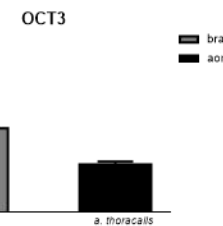
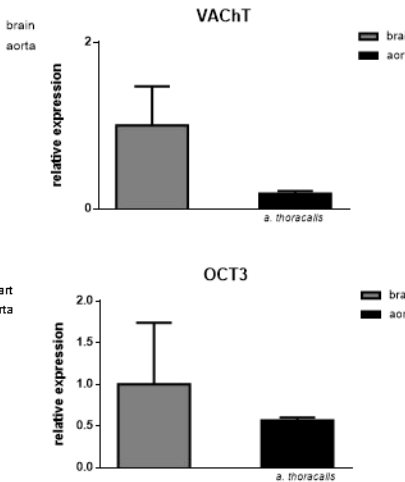
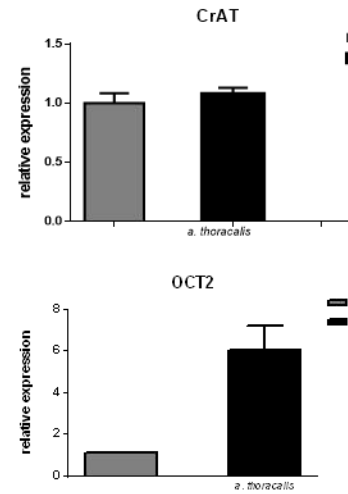
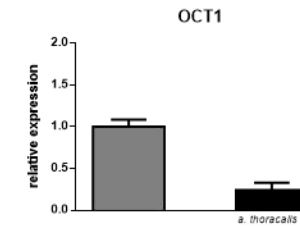
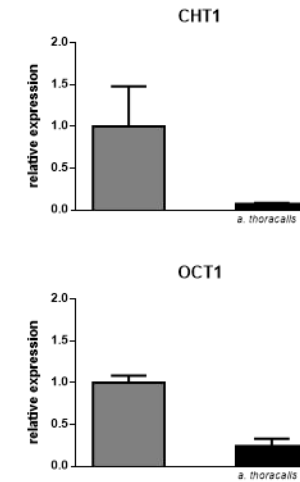
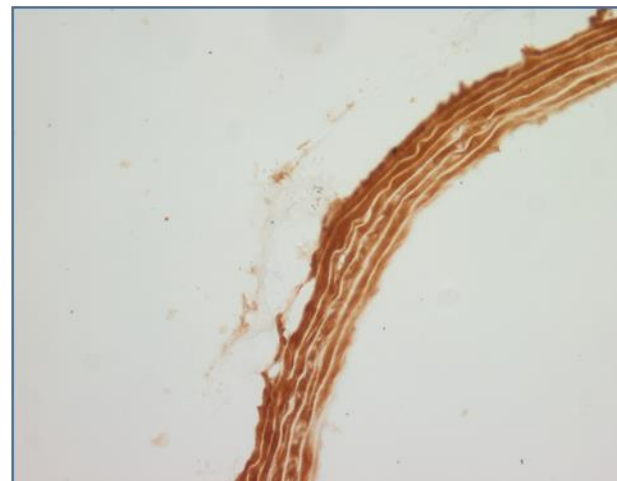
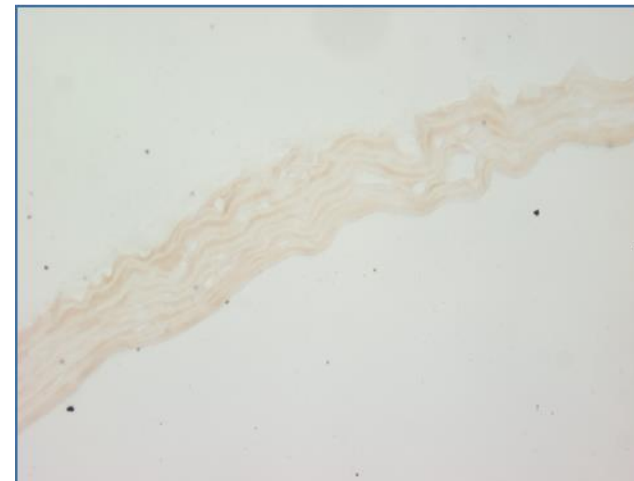
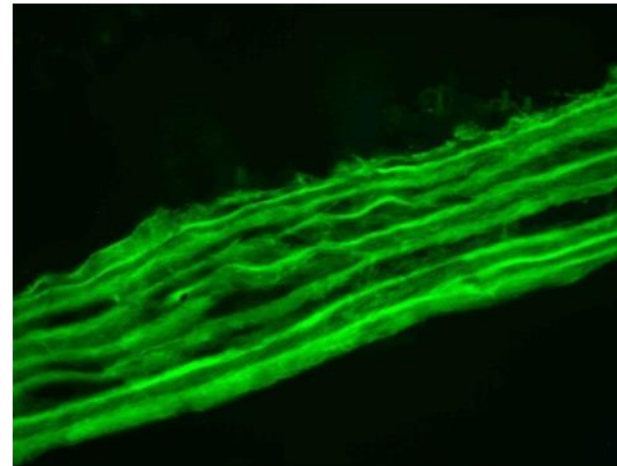
Negatívna korelácia

Cholínergický systém v cievach

AChE



BChE

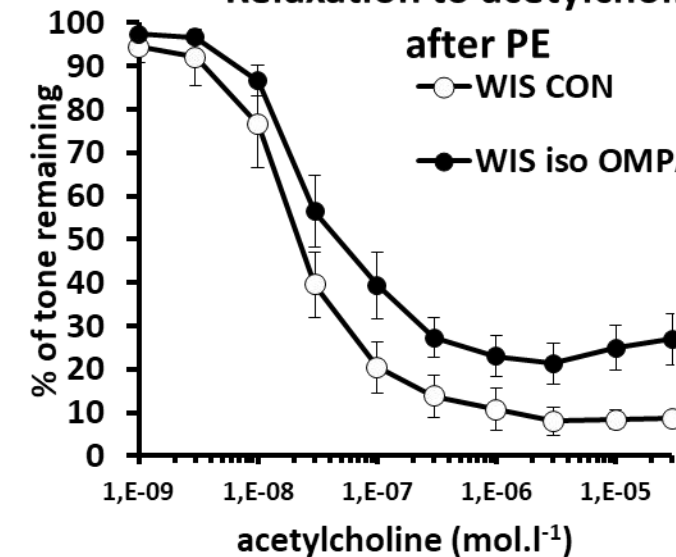


Relaxation to acetylcholine

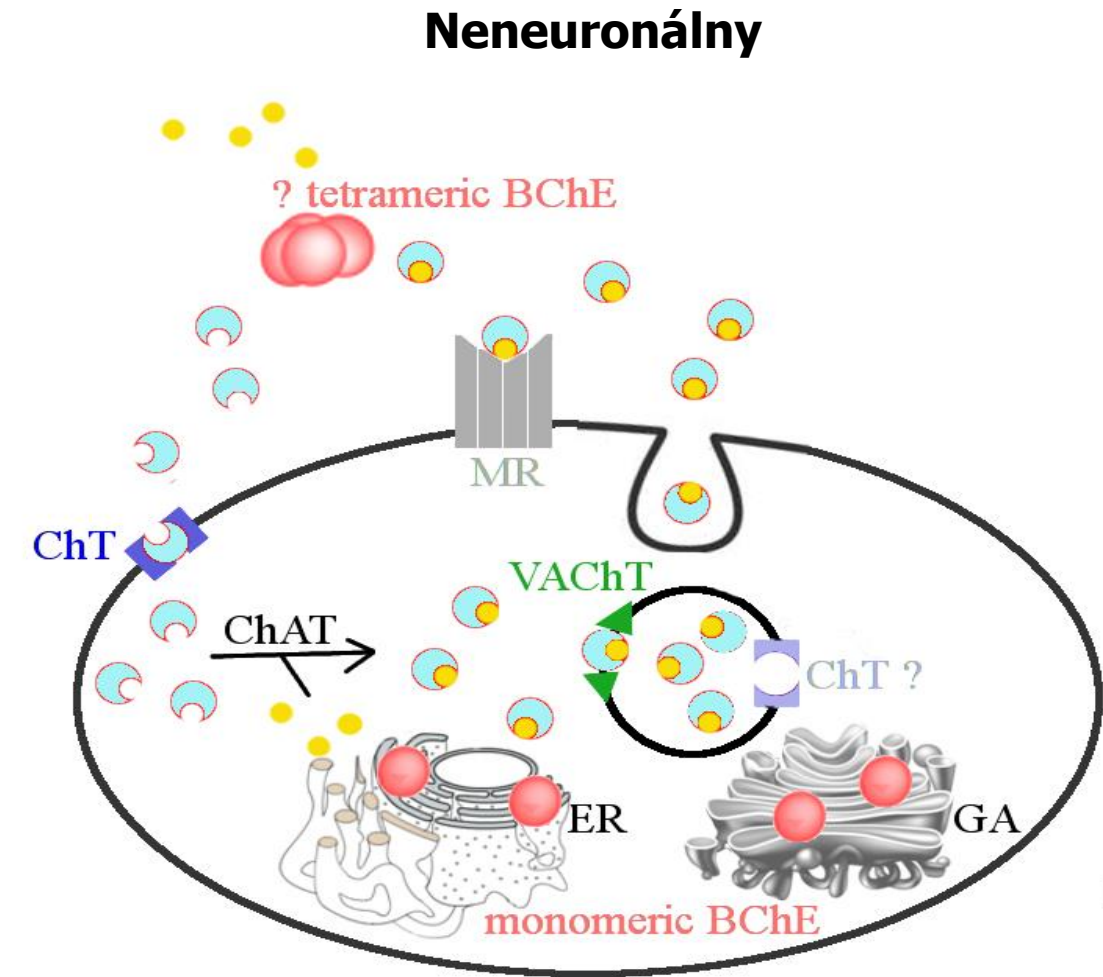
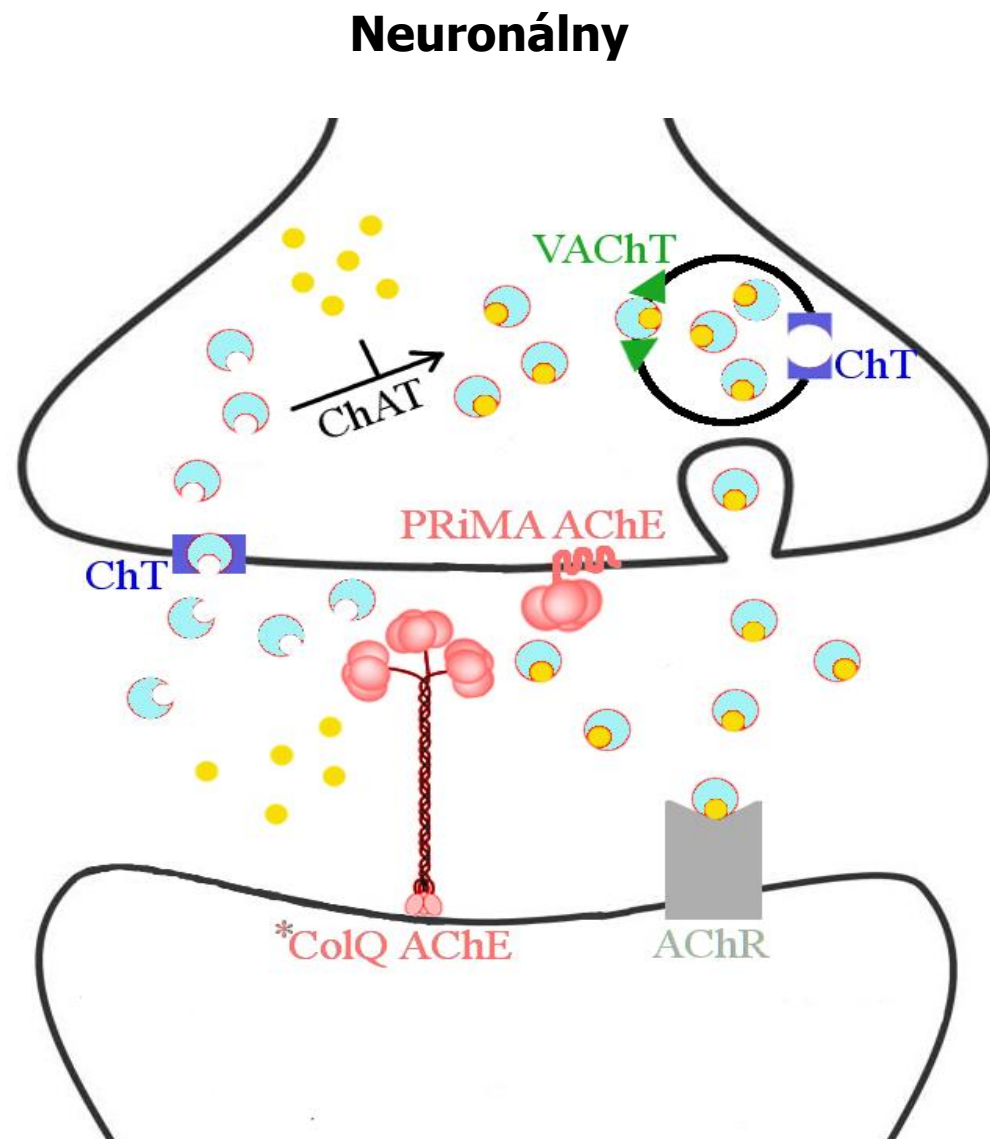
after PE

—○— WIS CON

—●— WIS iso OMPA



Cholínergický systém srdca



BChE vs. rizikové faktory t'ažkého COVID-19



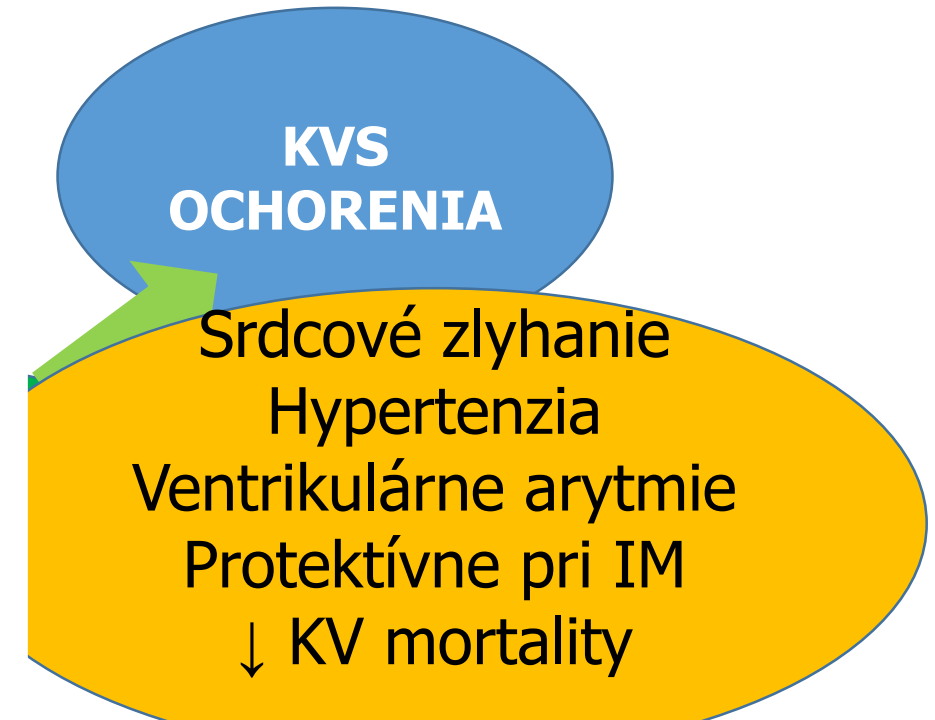
Cholinergic Activity as a New Target in Diseases of the Heart

Ashbeel Roy,^{1,2} Silvia Guatimosim,³ Vania F Prado,^{1,2,4} Robert Gros,^{1,2,5} and Marco A M Prado^{1,2,4}

¹Robarts Research Institute, The University of Western Ontario, London, Ontario, Canada; ²Department of Physiology and Pharmacology, The University of Western Ontario, London, Ontario, Canada; ³Department of Physiology and Biophysics, Institute of Biological Sciences, Universidade Federal de Minas Gerais, Belo Horizonte, Brazil; ⁴Department of Anatomy and Cell Biology, The University of Western Ontario, London, Ontario, Canada; and ⁵Department of Medicine, University of Western Ontario, London, Ontario, Canada

The autonomic nervous system is an important modulator of cardiac signaling in both health and disease. In fact, the significance of altered parasympathetic tone in cardiac disease has recently come to the forefront. Both neuronal and nonneuronal cholinergic signaling likely play a physiological role, since modulating acetylcholine (ACh) signaling from neurons or cardiomyocytes appears to have significant consequences in both health and disease. Notably, many of these effects are solely due to changes in cholinergic signaling, without altered sympathetic drive, which is known to have significant adverse effects in disease states. As such, it is likely that enhanced ACh-mediated signaling not only has direct positive effects on cardiomyocytes, but it also offsets the negative effects of hyperadrenergic tone. In this review, we discuss recent studies that implicate ACh as a major regulator of cardiac remodeling and provide support for the notion that enhancing cholinergic signaling in human patients with cardiac disease can reduce morbidity and mortality. These recent results support the idea of developing large clinical trials of strategies to increase cholinergic tone, either by stimulating the vagus or by increased availability of Ach, in heart failure.

Online address: <http://www.molmed.org>
doi: 10.2119/molmed.2014.00125



- Calderon-Margalit et al. (2006) Clin Chem
Roy A (2015) Molecular Medicine
Roy et al. (2013) FASEB
Lataro et al. (2013) AJP
Androne et al. (2003) Heart
Bharadwaj et al. (2017) Clin Exp Pharm Phys
Serra et al. (2009) J Card. Fail
Kakinuma et al. (2013) JAHA
...

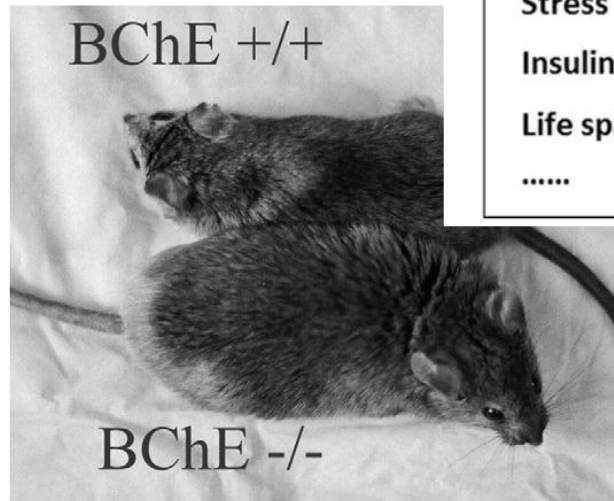


Ľudskí jedinci s homozygotnou formou silentnej formy BChE; komunita Vysya v Indii

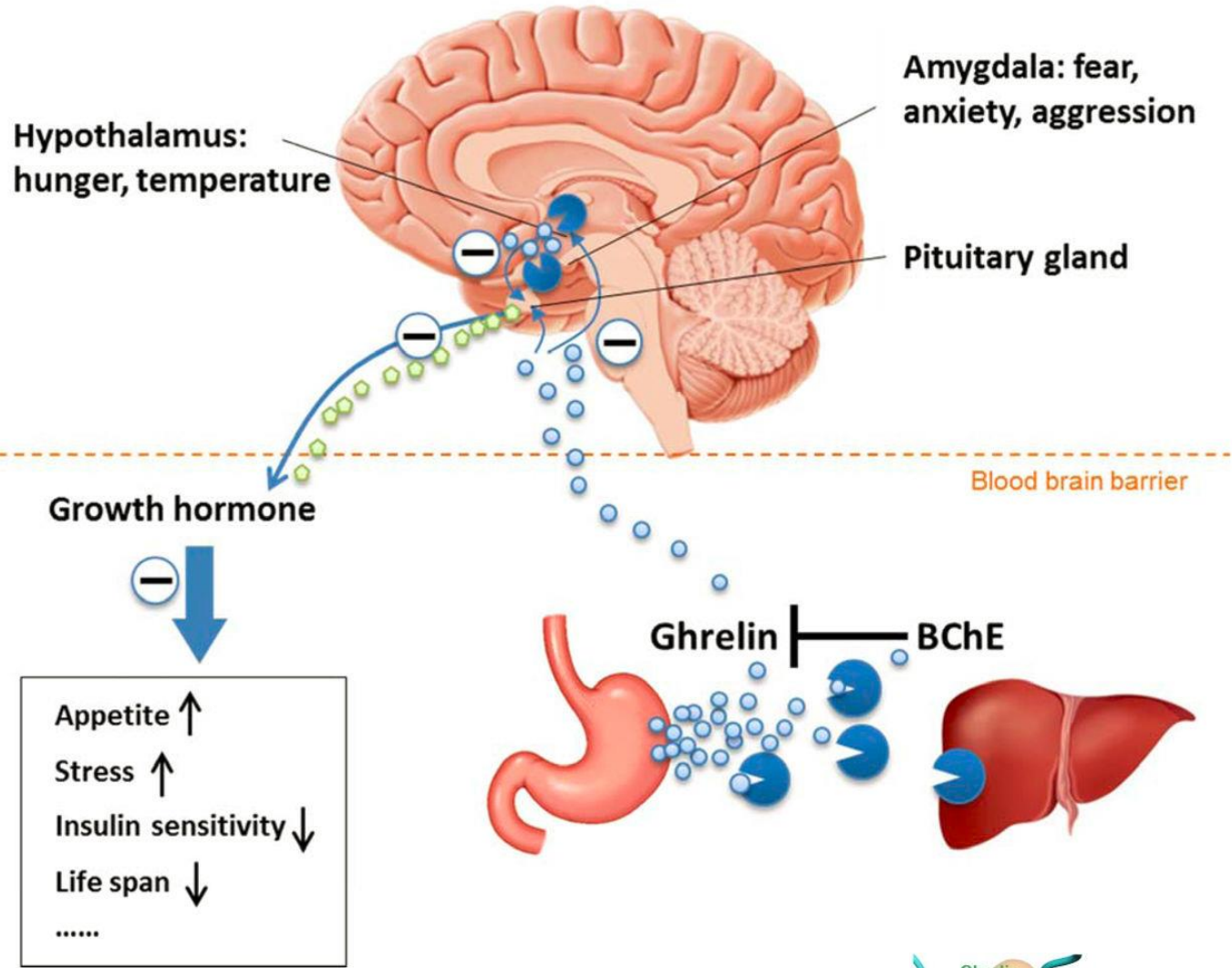
Duysen E.G. et al. (2009) Expert Opin. Drug Metab. Toxicol.
Manoharan et al. (2006) Clinica Chimica Acta



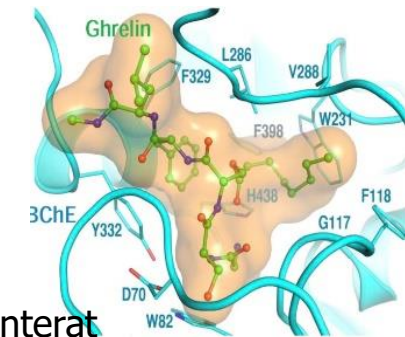
Li B. et al. (2006) J Mol Neurosci 2006



Li B. et al. (2008) Chem. Biol. Interact.



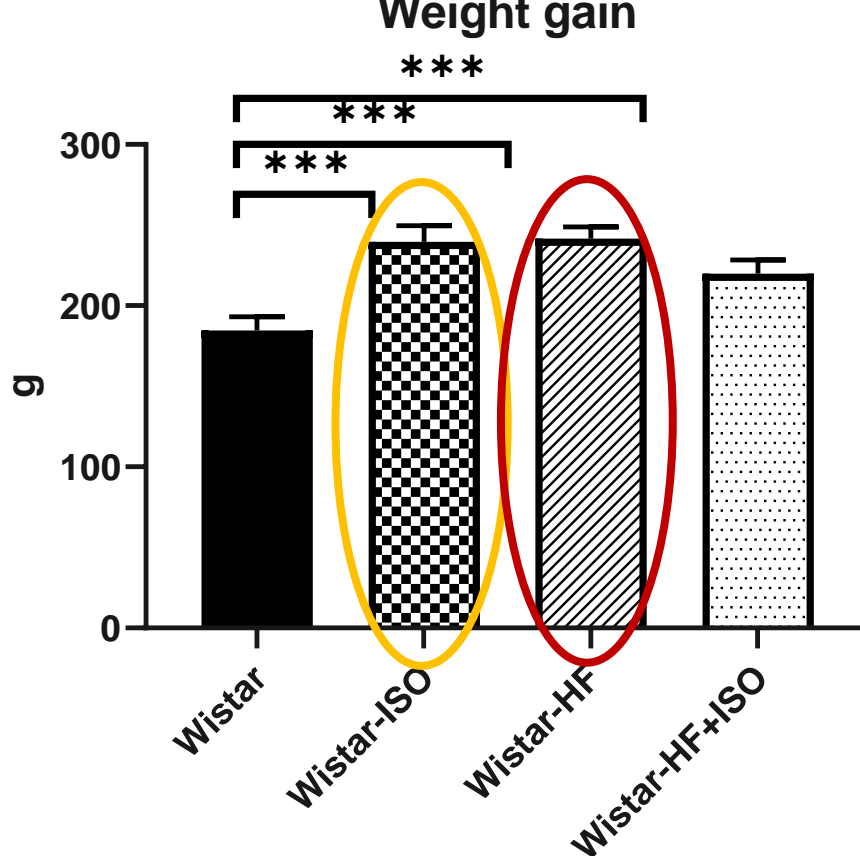
Chen V et al. (2017) PNAS
Brimijoin S et al. (2016) Chem Biol Interat



| Príjem potravy | kontrola | iso-OMPA | HF | iso-OMPA +HF |
|----------------|--------------|--------------|---------------|---------------|
| g/deň | 44.94 ± 0.49 | 47.46 ± 1.50 | 43.79 ± 0.59 | 42.06 ± 0.45 |
| kcal/deň | 145.0 ± 1.59 | 153.1 ± 4.82 | 196.9 ± 2.66* | 189.2 ± 2.05* |

HF – vysokotuková strava (20% bravčová mast')
Iso-OMPA = selektívny inhibítorm BChE

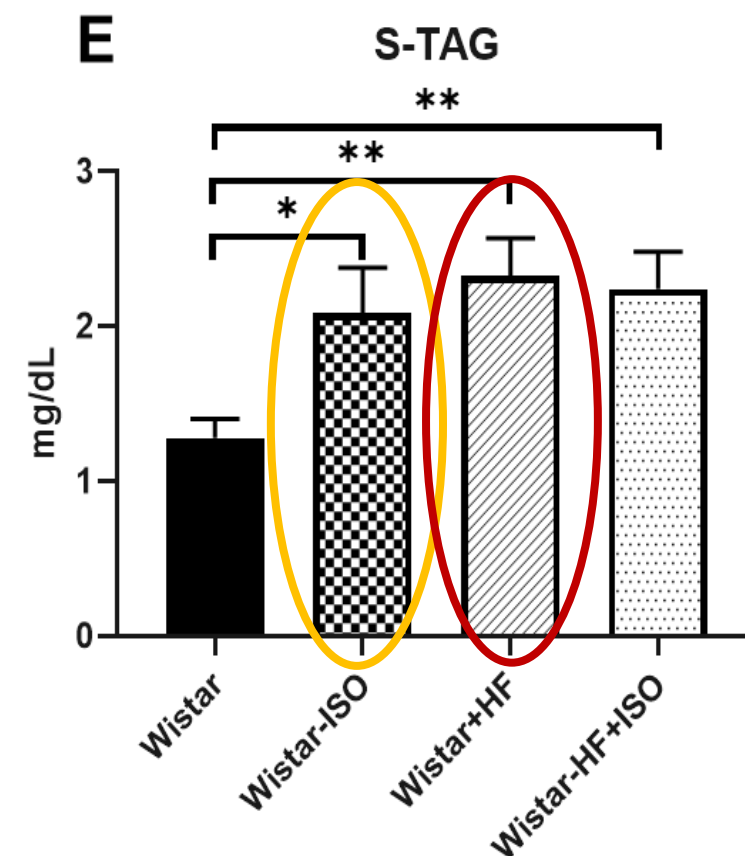
Weight gain



E

S-TAG

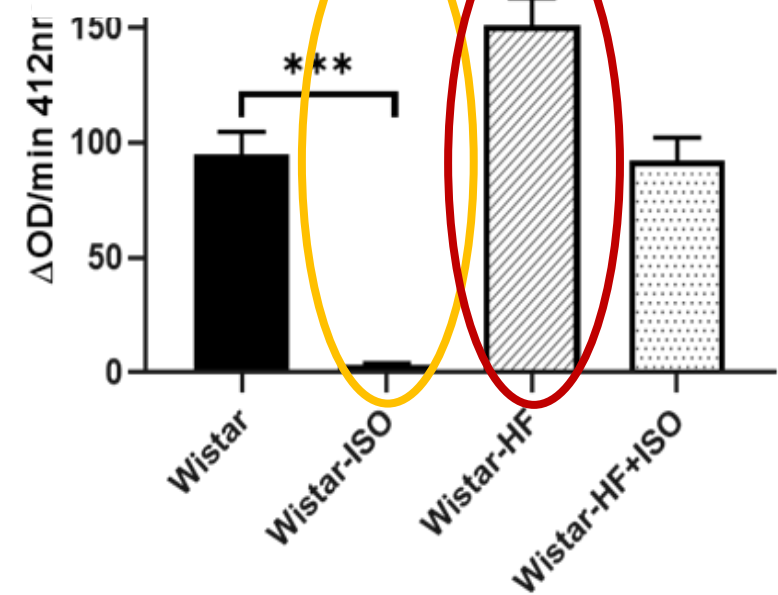
**



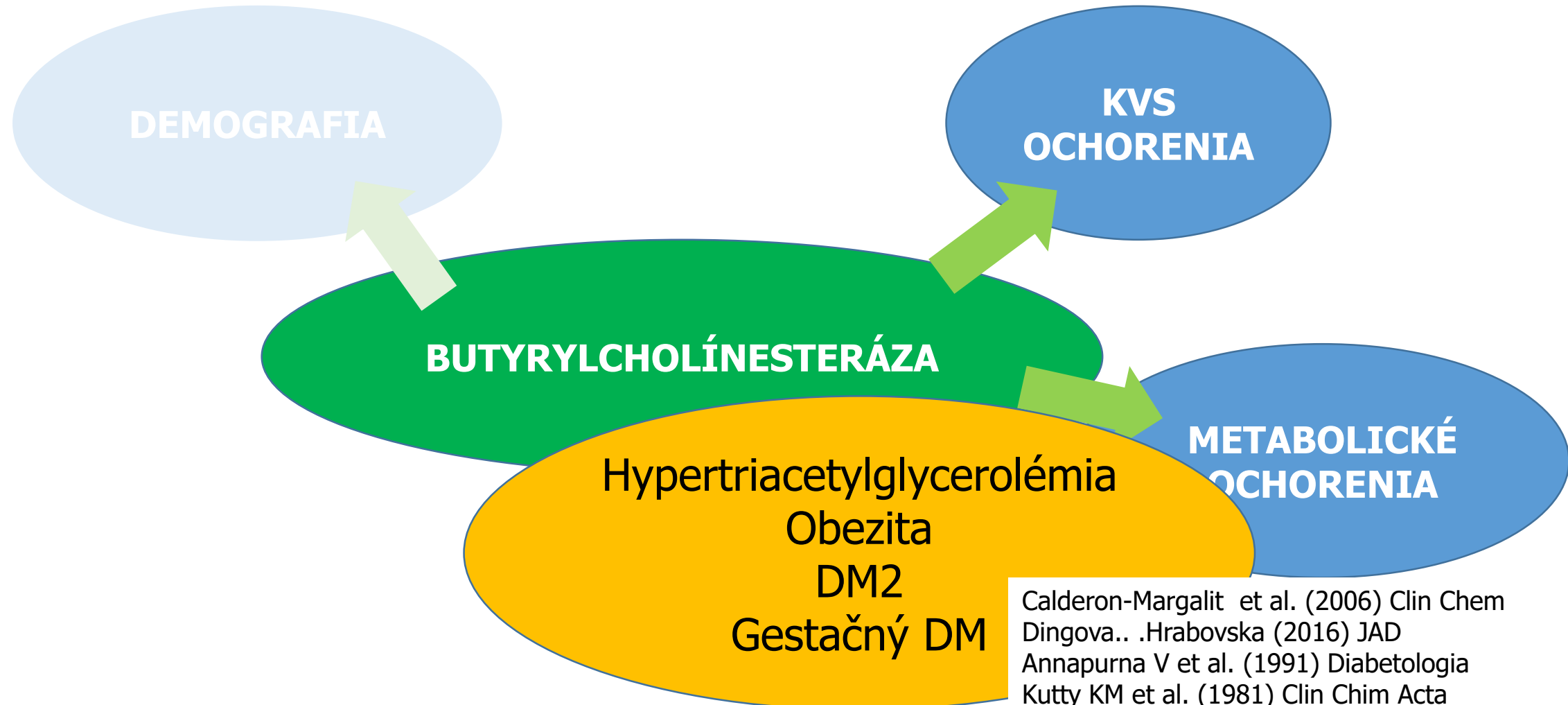
C

BChE activity

**



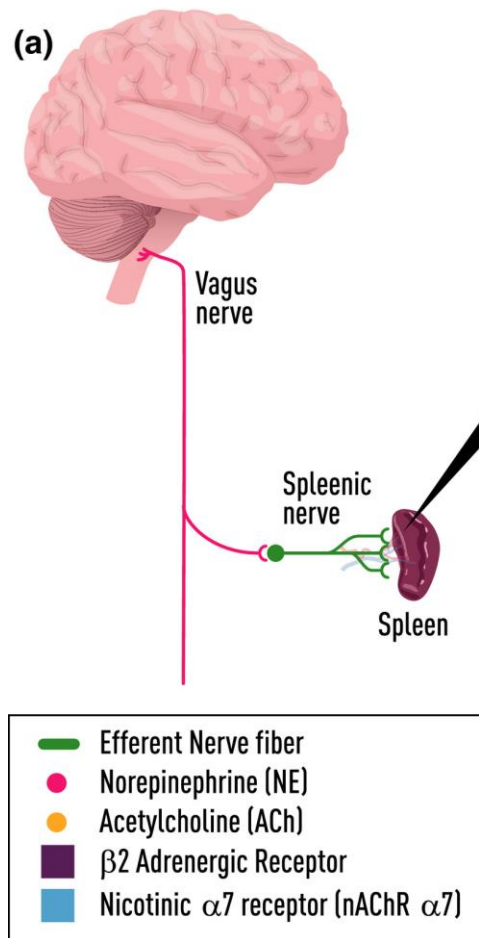
BChE vs. rizikové faktory t'ažkého COVID-19



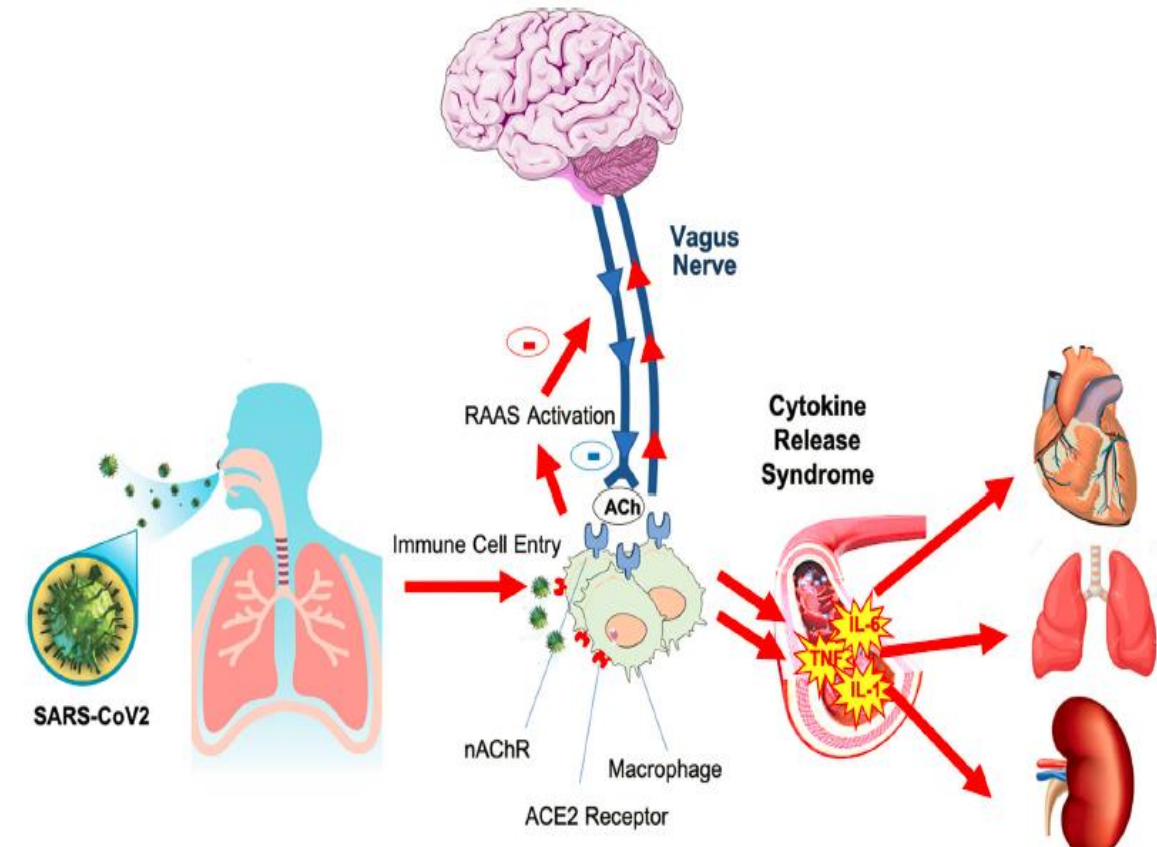
Calderon-Margalit et al. (2006) Clin Chem
Dingova... Hrabovska (2016) JAD
Annapurna V et al. (1991) Diabetologia
Kutty KM et al. (1981) Clin Chim Acta
Vallianou N. et al. (2014) J Cardiovasc. Med.
Larissa O. Guimaraes (2014) Genet Mol Biol.
...

Imunomodulačný účinok acetylcholínu

Vagus nerve stimulation in sepsis

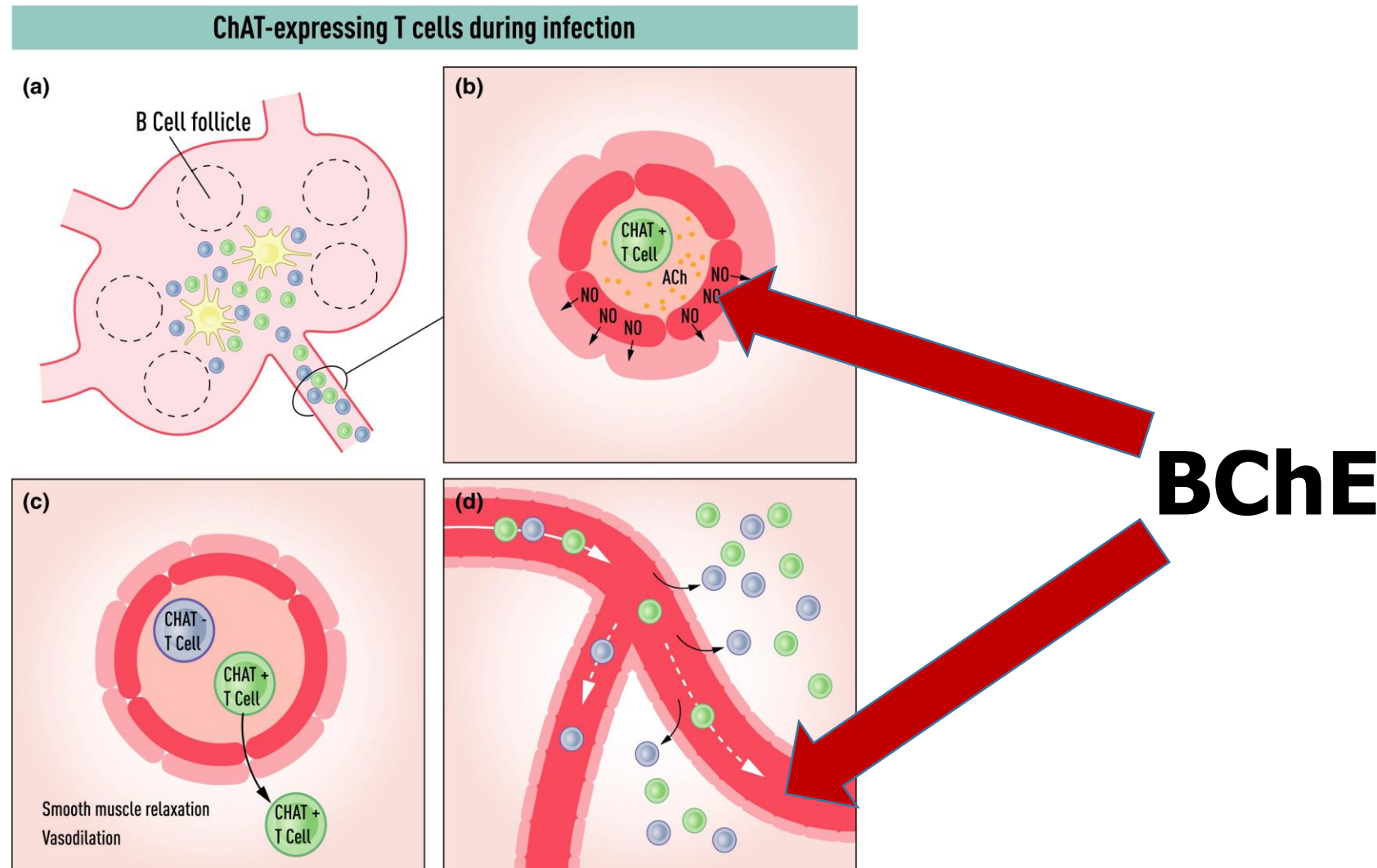


Pomara N. (2020) Med Hypotheses



Fudim M et al. (2019) J Cardiovasc Transl Res.

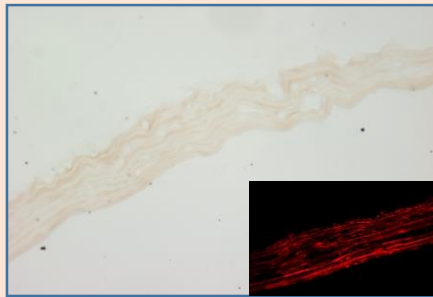
Imunomodulačný účinok acetylcholínu



Butyrylcholínesteráza v cievach

Potkan

Cieva

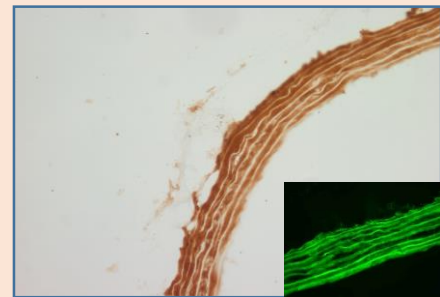


Plazma



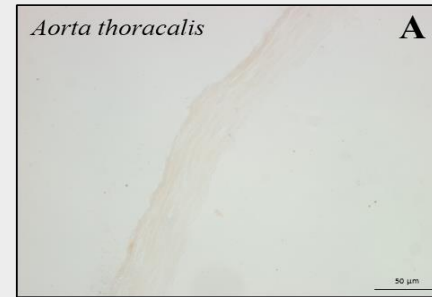
AChE

BChE

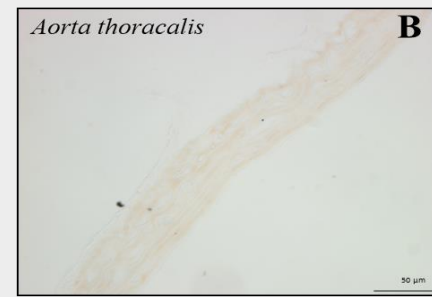


Myš

Cieva



Plazma



Plazma



Človek

Cieva

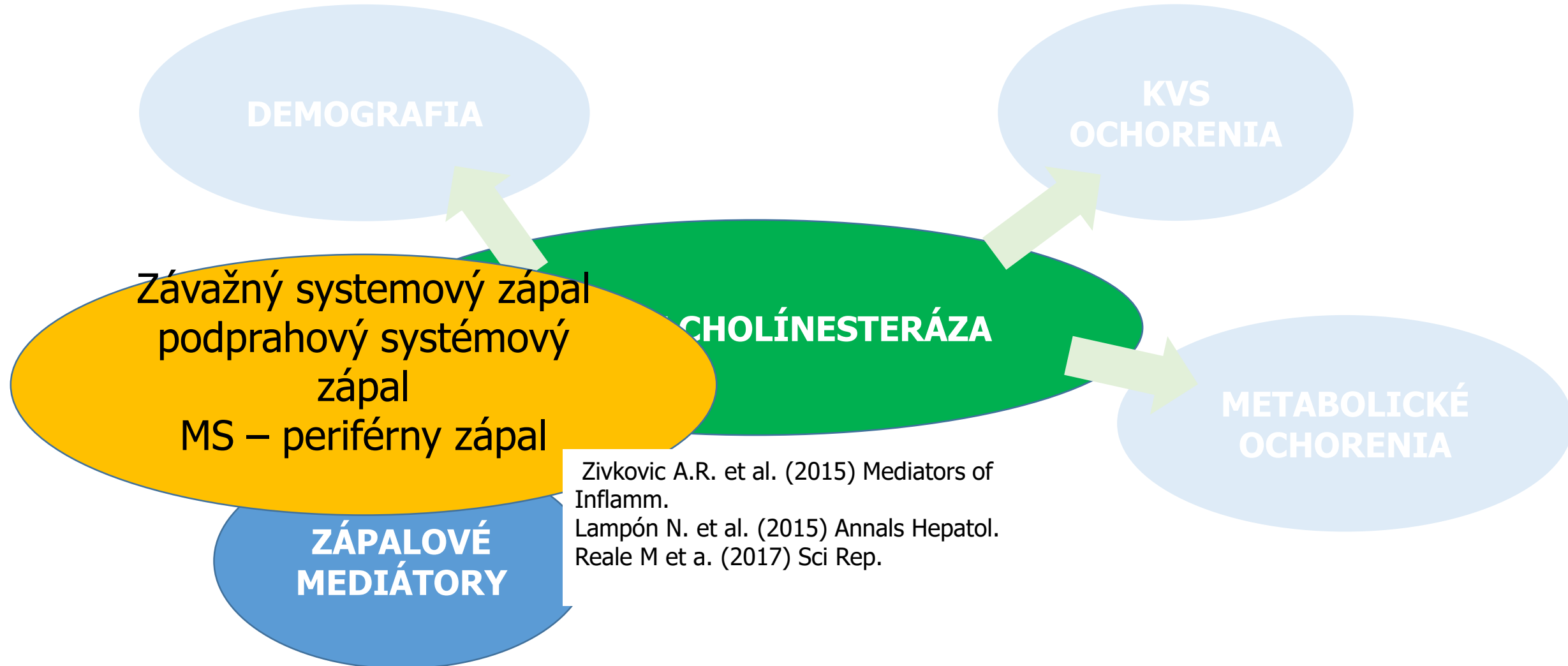
?



?

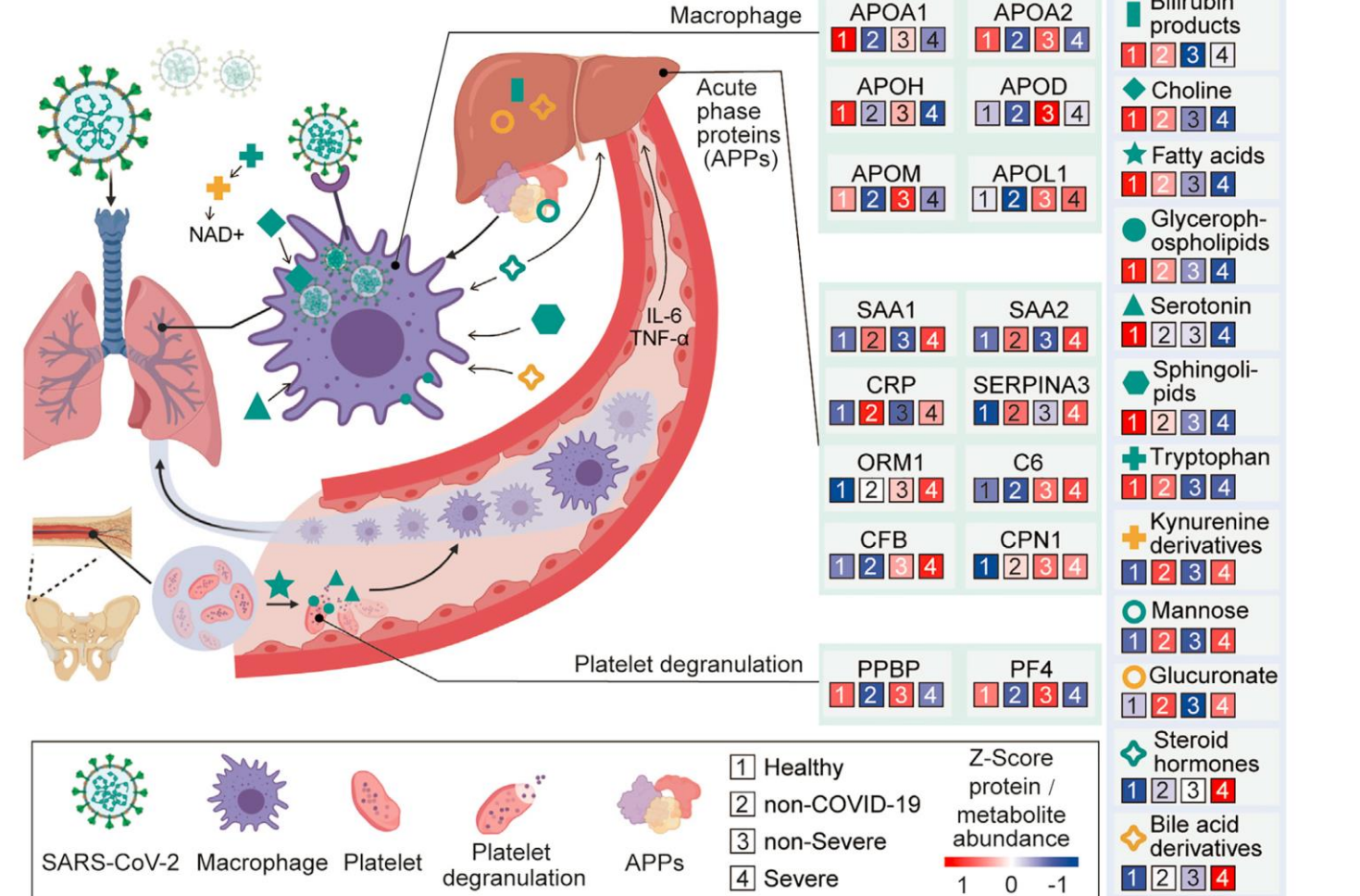
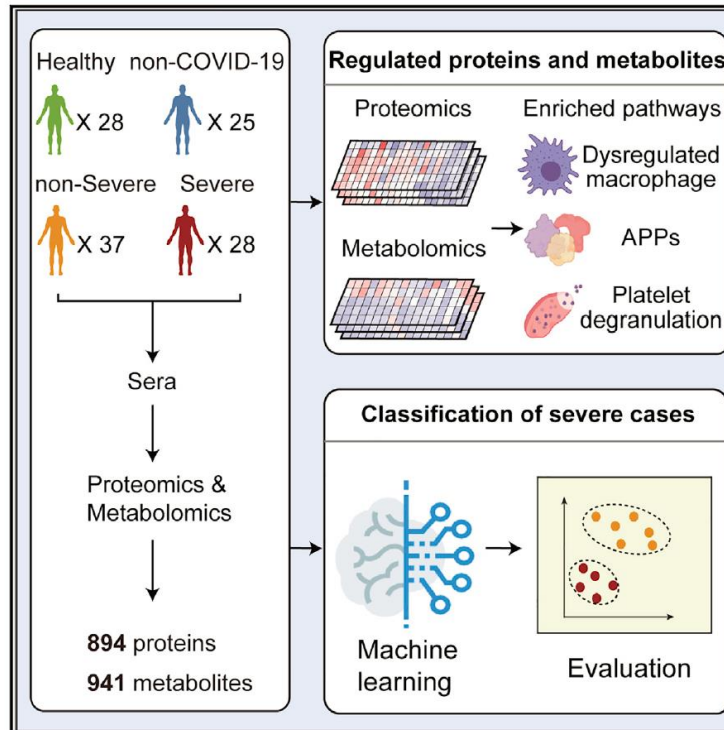


BChE vs. rizikové faktory t'ažkého COVID-19



Rizikové faktory t'ažkého priebehu COVID-19

Metabolomika a proteomika

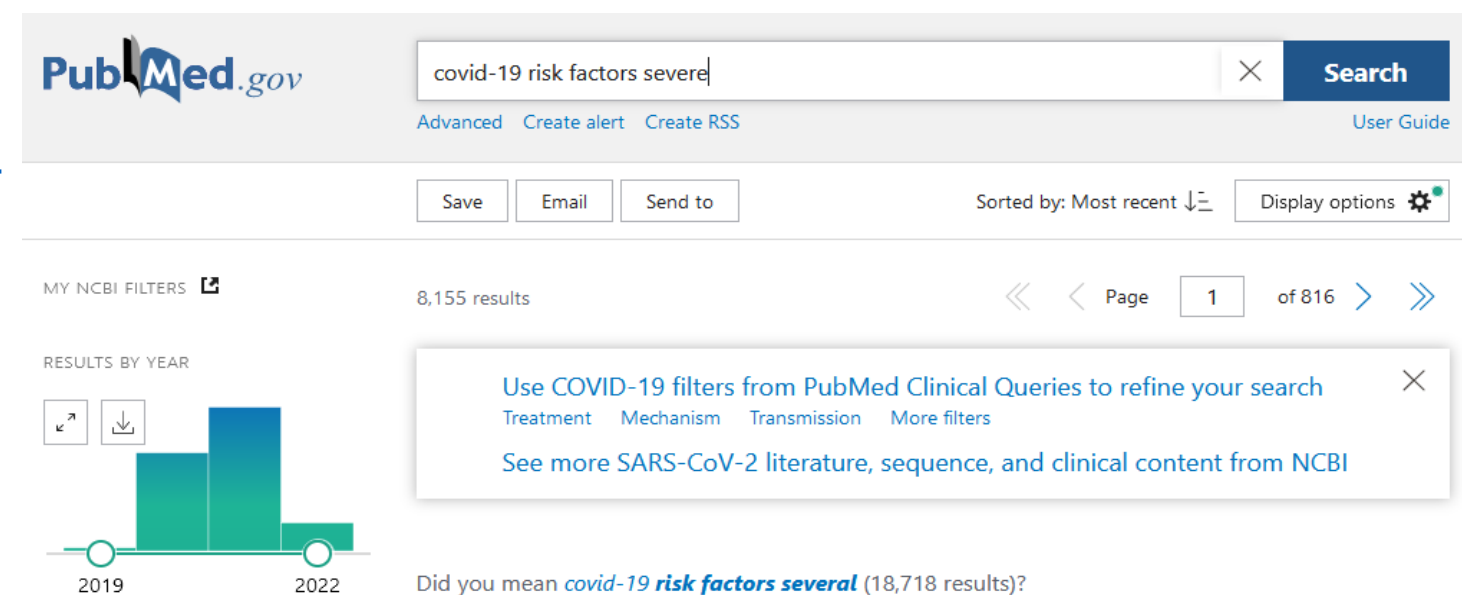


Metabolická a imunitná dysregulácia

Shen et al., 2020, Cell

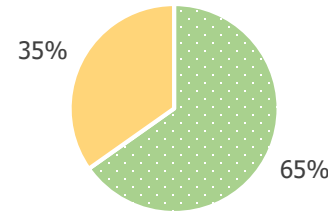
Čo sú rizikové faktory závažného priebehu COVID-19?

- European Centre for Disease Prevention and Control
 - <https://www.ecdc.europa.eu>
- National Institutes of Health (NIH)
 - www.nih.gov
- WHO | World Health Organization
 - <https://www.who.int>
- Centers for Disease Control and Prevention
 - <https://www.cdc.gov>
- PubMed.gov
<https://pubmed.ncbi.nlm.nih.gov/>



n = 148

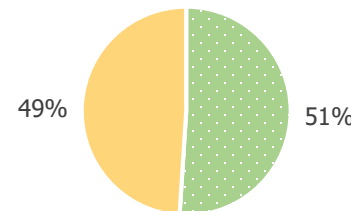
Prepuštení
n = 46 (31 %)



■ normal ■ obese

30,05 (19,9 – 50,1)*

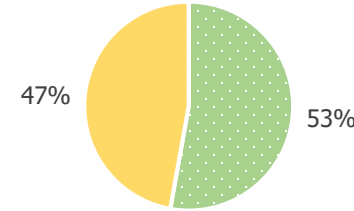
Preložení
n = 49 (33 %)



■ normal ■ obese

30,75 (17,6 – 50,2)*

Nepreživší
n = 53 (36 %)



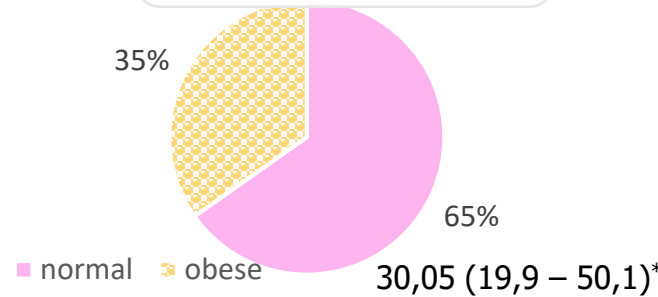
■ normal ■ obese

31,45 (16,7 – 44,2)*

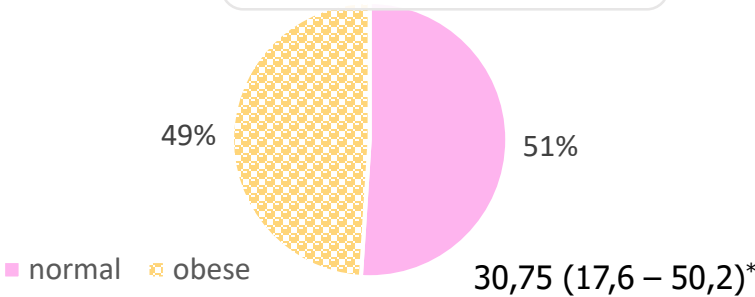
*average (min – max)

n = 148

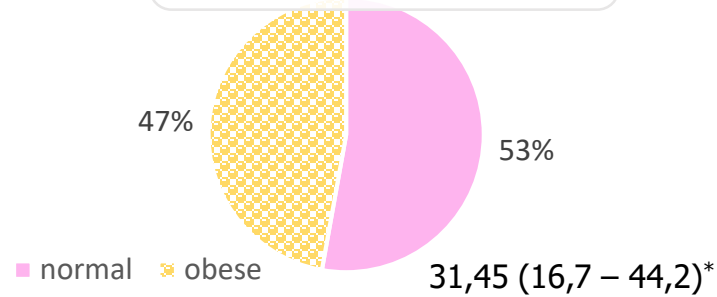
Prepuštení
n = 46 (31 %)



Preložení
n = 49 (33 %)



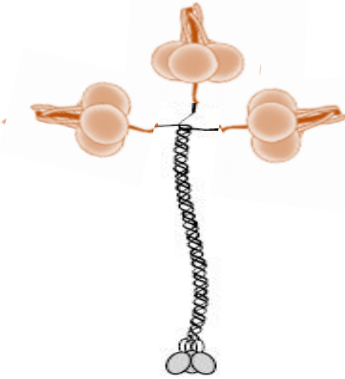
Nepreživší
n = 53 (36 %)



*average (min – max)



Butyrylcholínesteráza (BChE)



| Orgán | BChE (U/g) | AChE (U/g) |
|------------------|--------------|---------------|
| Pečeň | 10,64 ± 1,48 | 9,41 ± 0,06 |
| Plíúca | 8,62 ± 0,26 | 0,86 ± 0,07 |
| Slezina | 7,06 ± 0,11 | 1,5 ± 0,20 |
| Žalúdok | 7,05 ± 0,44 | 0,98 ± 0,08 |
| Obličky | 6,56 ± 0,35 | 0,68 ± 0,14 |
| Tenké črevo | 6,20 ± 0,21 | 0,90 ± 0,04 |
| Mozoček | 6,05 ± 0,29 | 9,30 ± 1,22 |
| Plazma | 5,6 ± 1,2 | 0,008 ± 0,001 |
| Predĺžená miecha | 3,6 ± 0,27 | 20,03 ± 0,76 |
| Mozgová kôra | 2,93 ± 0,28 | 2,13 ± 0,37 |
| Srdce | 2,56 ± 0,16 | 1,03 ± 0,16 |
| Kostrový sval | 1,97 ± 0,14 | 3,75 ± 0,32 |
| Koža | 1,83 ± 0,23 | 0,99 ± 0,6 |
| Štítna žľaza | 0,57 ± 0,13 | 0,67 ± 0,02 |

Funkcia

- ?
- hydrolýza ACh
- hydrolýza xenobiotík
(sukcinylcholín, kokaín, ASA,)
- scavenging OP
- vztah s viacerými patológiami
(napr. obezita, MS, DM)

**BChE JE VO VZŤAHU
S RIZIKOVÝMI FAKTORMI
ZÁVAŽNÉHO PRIEBEHU
COVID-19!**